

Plankton fra det Røde Hav og Adenbugten.

(Plankton from the Red Sea and the Gulf of Aden.)

Af

C. H. Ostenfeld og Johs. Schmidt.

Indledning af Johs. Schmidt.

Den følgende Fortegnelse over Planktonorganismerne fra det Røde Hav og Adenbugten er Resultatet af Bearbejdelsen af et Materiale, som i 1899 og 1900 blev indsamlet fra to af det danske Østasiatiske Kompagnis Dampere, nemlig S/S „Siam“ og S/S „Cathay“. Materialet er dels indsamlet af mig selv som Deltager i den danske naturvidenskabelige Ekspedition til Siam i 1899—1900, dels efter min Anvisning af Officererne paa S/S „Siam“. Indsamlingerne fandt Sted i November 1899 (fra S/S „Siam“ ved mig), i Marts 1900 (fra S/S „Siam“ ved dets Officerer) og i Maj 1900 (fra S/S „Cathay“ ved mig), og de foretoges enten ved Hjælp af det af M. Kaudsen og C. H. Ostenfeld konstruerede Hurtignet¹⁾ eller simpelthen, ved at Vandet fra Dæks-pumperne filtreredes gennem lignende fine Silkenet, som dem, der anvendtes til Hurtignettene. Pumpingen gav oftest meget tilfredsstillende Resultater; dog var Pumpematerialet næsten altid stærkt blandet med Rust fra Pumperørerne. Det skal her bemærkes, at medens Materialet, som indsamledes ved Hjælp af Hur-

¹⁾ Se C. F. Wandel og C. Ostenfeld: Iagttagelser over Overfladevandets Temperatur, Saltholdighed og Plankton paa islandske og grønlandske Skibaruter i 1897. København 1898.

tignettet (eller „Sløberen“) toges i selve Overfladen indtil faa (ca. 2) Fod under denne, stammer Pumpematerialet derimod fra en Dybde af ca. 20 Fod under Overfladen, idet Pumperne i de fuldt lastede Skibe tager Vandet fra denne Dybde. Materialet blev dels konserveret i Alkohol, dels i 4% Formol; det sidste har flere Fordele fremfor Alkohol; det er billigt og kan medføres i stærk Koncentration til Fortynding med almindeligt Førekvand eller Havvand; endvidere konserveres enkelte af Planktonorganismene (Cyanofyceerne) langt bedre i Formol end i Alkohol, hvori de mister deres naturlige Udseende, idet Cellerne skrumper ind; for Flertallet af Planktonorganismene er stærk Alkohol dog et lige saa godt eller bedre Konserveringsmiddel, og enkelte Organismer, nemlig de, der indeholder kulsur Kalk, lider betydeligt ved at opbevares i Formol, idet der let finder delvis Iltning af denne Sted under Dannelse af Myresyre, som opløser den kulsure Kalk. Det er derfor nyttigt at have Prøver baade i Alkohol og Formol.

Jeg giver herefter en Fortegnelse over de Stationer, hvor Indsamling fandt Sted; ved *S* betegnes, at Materialet er samlet ved Hjælp af Sløberen og altsaa stammer fra Overfladen, ved *P*, at det er indvundet ved Filtrering af Pumpevandet (stammer fra en Dybde af ca. 20 Fod).

1. S/S „Siam“s Udrejse (November 1899).

Nr.	Dato	Tid	Lat.	Long.	Sted	Temp.
Nr. 7 a	9/11 1899	Kl. 3 ⁰⁰	27°42' N	33°50' E	P	
- 7	10/11 1899	- 10 ⁰⁰	25°15' N	35°26' E	S	26,6° C.
- 7 b	11/11 1899	- 6 ⁰⁰	20°38' N	38°25' E	P	
- 8 a	12/11 1899	- 2 ⁰⁰	17°42' N	40°20' E	P	
- 8	13/11 1899	- 5 1/4 ⁰⁰	14° N	42°48' E	S	26,7° C.
- 9 a	14/11 1899	- 1 ⁰⁰	12°20' N	44°44' E	P	
- 9	15/11 1899	- 12 1/4 ⁰⁰	12°17' N	46°50' E	P	26,4° C.
- 9 b	16/11 1899	- 1 1/2 ⁰⁰	12°28' N	46°52' E	P	
- 10 a	16/11 1899	- 12 ⁰⁰	11°59' N	52°37' E	P	
- 10	17/11 1899	- 1 1/2 ⁰⁰	11° 7' N	56°18' E	S	26,4° C.
- 10 b	18/11 1899	- 12 ⁰⁰	10°36' N	59°36' E	P	

2. S/S „Siam“s Hjemrejse (Marts 1900).

				Vandets Temp.
Nr. 7	—	$\frac{6}{8}$ 1900 Kl. 7 $\frac{1}{2}$ ^{am}	— 26° 55' N, 94° 35' E — S	22,8° C.
- 8	—	$\frac{7}{8}$ 1900 - 1 ^{pm}	— 14° 16' N, 42° 45' E — S	26,8° C.
- 9	—	$\frac{1}{8}$ 1900 - 8 ^{am}	— 12° 40' N, 46° 45' E — S	26,4° C.
- 10	—	$\frac{21}{2}$ 1900 - 10 ^{am}	— 12° 30' N, 54° 30' E — S	26,1° C.

3. S/S „Cathay“s Hjemrejse (Maj 1900).

				Vandets Temp.
Nr. 7a	—	$\frac{10}{8}$ 1900 Kl. 8 $\frac{1}{4}$ ^{pm}	— 29° 1' N, 32° 47' E — S	
- 7	—	$\frac{9}{8}$ 1900 - 2 $\frac{1}{2}$ ^{pm}	— 26° N, 35° 8' E — S	25° C.
- 8a	—	$\frac{5}{8}$ 1900 - 12 ^{am}	— 16° 24' N, 41° 13' E — P	
- 8	—	$\frac{6}{8}$ 1900 - 6 $\frac{1}{4}$ ^{pm}	— 14° 3' N, 42° 48' E — S	29° C.
- 9	—	$\frac{7}{8}$ 1900 - 2 ^{pm}	— 12° 32' N, 46° 38' E — S	29,2° C.
- 10d	—	$\frac{3}{8}$ 1900 - 3 ^{pm}	— 12° 56' N, 50° 10' E — S	
- 10c	—	$\frac{2}{8}$ 1900 - 12 ^{pm}	— 13° 1' N, 50° 35' E — P	
- 10b	—	$\frac{1}{8}$ 1900 - 3 $\frac{1}{4}$ ^{pm}	— 12° 55' N, 53° 43' E — P	
- 10	—	$\frac{2}{8}$ 1900 - 2 ^{am}	— 12° 35' N, 55° 55' E — P	28° C.
- 10a	—	$\frac{1}{8}$ 1900 - 12 $\frac{1}{4}$ ^{pm}	— 12° 17' N, 57° 54' E — P	

Jeg bringer her Direktøren for Det Østasiatiske Kompagni, Hr. Etatsraad H. N. Andersen min bedste Tak for den Velvillighed, hvormed Kompagniet har bidraget til, at disse Planktonindsamlinger kom i Stand; ligeledes takker jeg de Skibeofficerer, som har assisteret ved Indsamlingerne, saaledes navnlig d'Hrr. Styrmand Thor- kelin og Gabe.

I den følgende Fortegnelse opføres kun Protophyta og Tin- tiniderne; Radiolarierne og Metazoerne er ikke medtagne.

PterospERMATAceae og *Bacillariaceae* er bearbejdede af C. H. Ostenfeld, *Cyanophyceae* af Johs. Schmidt, og de øvrige Grupper af os begge i Fælleskab.

Med Hensyn til Hyppighedsangivelserne har vi benyttet den Inddeling, som nu sædvanligt bruges ved Planktonarbejder.

Det eneste foreliggende Arbejde over Mikroplankton fra det Røde Hav er: Cleve: Plankton from the Red Sea. Öfv. af K.

Vet. Akad. Förhandl. 1900, Nr. 9, hvori der kun opføres en ringe Del af de Former, vi har truffet. Vi ansér derfor de deri anførte bio-geografiske Bemærkninger (p. 1034—36) for næppe tilstrækkeligt begrundede, blandt andet da de kun støtter sig paa Indsamlinger i Februar Maaned og ikke fra andre Aarstider. Uagtet vort Materiale stammer fra forskellige Aarstider, mener vi dog endnu at burde afholde os fra almindeligere Slutninger.

I. Cyanophyceae¹⁾. (Auctore Johs. Schmidt.)

1. *Heliostrichum radians* Wille in Schütt: Pflanzenleben der Hochsee, p. 278, f. 87.

Thallus er i levende Tilstand straagult eller lyst rødligt med et mørkere Centrum. Cellerne indeholder Luftvakuoler.

VII b ¹¹/₁₁ (r) — VIII a ¹²/₁₁ (r), ⁵/₈ (+) — VIII ¹³/₁₁ (rr)
X a ¹⁶/₁₁ (rr).

Pelagothrix Schm. nov. gen. (e tribu *Vaginaricarum* Gomont).

Thallus free-swimming, minute, fusiform, consisting of a bundle of threads (trichomata) enclosed in a common jelly-sheath (vagina). Cells with cavities replete with gas („Gasvakuolen“).

Denne nye pelagiske Slægt svarer til *Hydrocoleum* eller *Microcoleus*; den karakteriseres ved sin pelagiske Levevis, ved sine gelsagtige Skeder, der indeslutter talrige Trikomer, og ved at Cellerne indeholder Luftvakuoler.

2. *Pelagothrix Clevei* Schm. nov. sp.

Thallus about 2^{mm} long, fusiform, straight or geniculated, living specimens straw-coloured. Sheath rather well determined, consisting of a thready jelly, enclosing numerous (about 20—30)

¹⁾ I saa godt som alle de undersøgte Prøver fandtes isolerede Trikomer af Cyanofyceer; de lader sig ikke bestemme, da de vigtigste Karakterer man søges i Thallus; idet hele taget liden Planktoncyanofyceer meget under Indsamlingen og Preparationen paa Grund af deres Særthed. Alle de følgende Forekomstangivelser er baserede paa Undersøgelse af det levende Materiale umiddelbart efter Indsamlingen (undtagen *Bichelia intracellularis*).

trichomatas. *Trichomatas* 6,3—7,5 μ broad slender, flexible, straight or a little bent, not tapering towards their apices. Cells before their division about twice as long as broad; in living specimens the cells enclose cavities replete with gas and their colour is a dark-reddish one; in a preserved state they are pale ferruginous, and the protoplasm contains a number of rather big grains. Apical cell rounded or nearly truncate, without calyptra.

Denne Art, af hvilken jeg kun har truffet 3 Eksemplarer, blev funden i det Røde Hav og underkastedes straks mikroskopisk Undersøgelse. Jeg kunde derved konstatere, at Protoplasmæt lige som hos alle de andre af mig iagttagne pelagiske Planktoncyanofycøer indeholder Vakoler, der er luftfyldte, og i gennemfaldende Lys præsenterer sig som uregelmæssigt (dog mest længdestillede) anordnede Bjælker

og Lister i Celleindholdet; i gennemfaldende Lys faar de levende Traade derved et meget mærkladent Udseende. Sætter man til Præparatet, der indeholder de levende luftfyldte Traade, en Smale

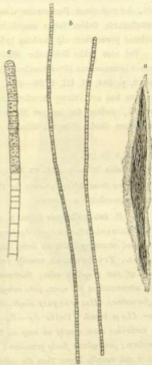


Fig. 1. *Pelagobryon Claei* Schm.
a Thallus $\frac{1}{2}$. b Isoleret Trikom c. $100\times$. c Spidsen af et Trikom c. $100\times$.

Alkohol, drives Luften øjeblikkeligt ud, og Celleindholdet viser sig da at være blegt blaagrønt og at indeslutte flere grove Korn. Skederne var ret konsistente og vel afgrænsede; de bestod af en Gelé, der ved stærk Forstørrelse viste sig at have en fint traadet Beskaffenhed; Geléen farves meget intensivt af Safranin, hvorved Skederne præsenterer sig særdeles tydeligt.

Ved sine tykke Geléskeder minder Arten om Slægten *Katagnymene* Lemmermann (Planktonalgen, Abh. Nat. Ver. Brem. Bd. XVI, Heft 2, p. 354, Pl. III, t. 38—49), men hos denne indeslutter Skederne kun eet Trikom (hvorfor den tilhører Gruppen *Lyngbyense* Gomont), medens der hos vor Slægt er talrige Trikomer indenfor den samme Skede (Slægten tilhører derfor Gruppen *Vaginarisae* Gomont).

VIII a $\frac{2}{3}$ (rr).

Richelia Schm. n. gen. ex affin. *Microchastes* Thuret.

Differs from Microchastes by the want of the sheaths and by the intracellular occurrence.

3. *R. intracellularis* Schm. n. sp. ¹⁾.

Filaments short (50—105 μ long), straight or nearly straight, sheathless, occurring inside the living cells of Rhizosolenia styliformis. Trichomatas usually rather unequal, torulose, consisting of few (7—20) cells, thickened at both extremities or a little attenuated at the apex, pale ærugineous (having been preserved in formaline). Heterocysts single, basilar, globose or subglobose, 9,8—11,8 μ broad. Cells 5,8—9,8 μ broad, barrel-shaped, in an undivided state nearly as long as broad, after the division low, disciform; protoplasm finely granulated, enclosing a few big grains; apical cell usually bigger than the adjacent cells, nearly globose.

Denne Art har i høj Grad Krav paa Interesse ved sin øjendommelige Løvevis. Foruden fra det Røde Hav, hvor den er funden enkeltvis, har jeg den i Massevis fra Malakka-Strædet og fra den

¹⁾ Paa Forekomsten af denne blaagrønne Alge i *Rhizosolenia*-Cellerne henlededes min Opmærksomhed først af min Medarbejder C. H. Ostensfeldt, der var beskæftiget med Undersøgelsen af noget af Slam-Expositionens Materiale fra Slambugten.

indre Del af Siambugten. Den optræder i Form af korte, stav-
lignende Traade, som forekommer enkeltvis eller faa sammen i
Cellerne af *Rhizosolenia styliformis*. Ved det første Øjekast for-
modede jeg, at Traadene var fæstede udvendig paa Diatomeens
Cellevæg, men ved en nærmere Undersøgelse kunde det med Let-
hed konstateres, at de a
stedse fandtes indeni
Cellerne¹⁾; deres Plads
er i Reglen ud mod
Cellevæggen, næsten pa-
rallelt med denne inden-
for Protoplasmaets ydre
Hudlag; de forekommer
saa godt som stedse kun
i Enderne af *Rhizoso-
lenia*-Cellen, kun sjæl-
dent og enkeltvis i
Mitten af denne, og de
er saaledes anordnede,
at deres Spidser peger
ind mod Cellens Mitte,
medens Basaldelen væn-
der mod Celleenderne;
dette Forhold synes at
være meget konstant; i
det mindste har jeg ikke
set Afvigelser herfra.

*Richelia intracellu-
laris* viser os det første
hidtil kendte Eksempel
paa en blaagrøn Alge,
som lever indeni selve

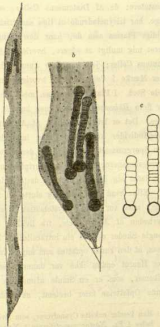


Fig. 2. *Richelia intracellularis* Schm.
a *Rhizosolenia*-Celle med *Richelia*. c. $\frac{1}{2}$. b Spidsen
af *Rhizosolenia* med *Richelia*. c Isolerede Trikomer
af *Richelia* c. $\frac{1}{2}$.

¹⁾ Ved at man sætter de cylindriske *Rhizosolenier* i en om Længde-
aksen roterende Bevægelse, faar man steds Traadene af den bla-
grøne Alge at se indenfor Cellevæggen i det optiske Længdesnit.

Cellerne af Værtplanten¹). Desværre er jeg ikke i Stand til at afgøre, om den optræder som en virkelig Parasit, hvad man dog a priori skulde formode, eller blot som en uskadelig Rumparasit, der har fundet sig et bekvemt Opholdsted i de rummelige *Rhizosolenia*-Celler; nogen synlig skadelig Virkning af dens Tilstedeværelse paa Værten har jeg trods al anvendt Umage ikke kunnet konstatere: de af Diatomeens Celler, som huser den blaagrønne Alge, har tilsyneladende et lige saa friskt og rigeligt, kromatoforholdigt Plasma som de, hvor den mangler. Det har heller ikke været mig muligt at afgøre, hvorledes Algen trænger ind i Værtplantens Celler; jeg har ikke kunnet finde noget som helst Spor eller Mærke i Cellevæggen, hvorigennem Infektionen har kunnet finde Sted. I Planktonprøverne, med *Richelia intracellularis*, findes der flere *Rhizosolenia*-Arter, men kun *R. styliiformis* indeholder vor Alge. Det er let forstaaeligt, at Afkommet af inficerede *Rhizosolenia*-Individer vedblivende maa indeholde den blaagrønne Gæst; men Spørgsmaalet om, hvorledes denne formerer sig, hvorledes Formeringsorganerne frigøres af Værtplantens Celler og trænger ind i nye, lader sig ikke afgøre paa dette Tidspunkt²).

Efter hvad der lader sig slutte ud fra det foreliggende Materiale, maa vor Alge i systematisk Henseende finde sin Plads i Nærheden af *Microchaete*, fra hvilken Slægt den afviger ved at mangle Skeder og ved sin intracellulære Forekomst; muligt var det ogsaa, at den kunde opfattes som unge Eksemplarer af en *Rivulariacé*, hvor Haaret endnu ikke var dannet, og man kan af og til finde Trikomer, som er en Smule afsmalnede med Spidsen; men imod denne Opfattelse taler bestemt, at Endecellerne i de største og

¹) Man kender enkelte Cyanofyceer, som lever indeni andre Planter, saaledes f. Ex. *Nostoc punctiforme* i Vævet af Cytadæer og *Gunnere* samt *Colothrix parasitica*, der lever delvis nedsenket i *Nematien*-Arternes Overfladevæv. Begge disse Arter adskiller sig fra vor Art ved at vokse intercellulært.

²) Den eneste mig bekendte Cyanofycé, der lever paa Planktonorganismer uden egentlig at høre med til Planktonet, er en af Lemmermann (l. c. 335) beskrevet *Colothrix Rhizosoleniæ*, som er funden ved New Zealand som Epifyt paa *Rhizosolenia*; hvor vidt der er nogen Forbindelse mellem denne og vor Art skal jeg ikke kunne afgøre.

ældste Trikomer stedsse synes at være større end de øvrige Celler (næsten lige saa store som Heterocysterne) og stærkt hvelvede, som man kender det hos *Microcyste*; derfor bør vor Art anbringes i en Slægt i Nærheden af denne.

Jeg benævner denne interessante Alge i Erindring af vor Landsmand Admiral A. de Richelieu, som paa saa mange Maader har støttet vor Ekspedition til Siam.

VIII a ¹²/₁₁ (rr) (further in 2°51' N, 100°57' E, ²⁰/₁₁ 1899 (+), and the inner part of the Gulf of Siam off Koh Kram ²¹/₂ 1900 (+)¹).

4. *Trichodesmium erythraeum* EhbG., Gomon Monographie des Oscillariées, Annal. des Sc. nat., VII sér., 16, Botanique 1892, p. 196, Pl. V, f. 27—30.

Thallus er lille og stregformet; i levende Tilstand er det straagult. Cellerne indeholder Luftvakuoler.

VII a ²/₁₁ (rr) — VII ¹⁰/₁₁ (rr) — VII b ¹¹/₁₁ (r) — VIII a ¹²/₁₁ (r) — VIII ¹²/₁₁ (rr) — IX ⁴/₂ (+).

II. Chlorophycæ.

5. *Halosphaera viridis* Schmitz. Denne vidt udbredte Planktonalge forekommer ret konstant i Prøverne, men ikke i større Mængder. Den varierer overordentlig i Størrelse.

VII a ²/₁₁ (rr) — VII ¹⁰/₁₁ (r), ⁶/₂, ²/₂ (r) — VII b ¹¹/₁₁ (r) — VIII a ¹²/₁₁ (rr), ²/₂ (rr) — VIII ¹²/₁₁ (r), ⁶/₂ (rr) — IX a ¹⁴/₁₁ (r) — IX ¹²/₁₁ (rr), ¹/₂ (rr) ⁴/₂ (rr) — IX b ¹²/₁₁ (rr) — X a ¹⁰/₁₁ (rr) — X ¹⁷/₁₁ (rr), ²⁷/₂ (rr) — X b ¹⁰/₁₁ (rr), ²/₂ (r) — X c ²/₂ (rr).

III. Calcocytes. (Auctore C. H. Ostenfeld.)

6. *Rhabdosphaera claviger* Murray & Blackman, Phil. Transact. of the R. Soc. of London, B., Vol. 190, 1898, p. 438.

VIII a ¹²/₁₁ (rr).

¹) In January 1900 *Richelia* occurred sparingly in the Gulf of Siam round Koh Chang.

Grunden til at *Calcozytes*, specielt *Coccosphaera* mangler i Prøverne, maa antages at være den, at de fleste af disse som nævnt er opbevarede i Formel, der ved dets Iltning til Myresyre opløser Kalkpladerne og derved gør Organismerne ukendelige.

IV. Pterospermataceæ nov. fam. (Auctore C. H. Ostenfeld.)

I 1900 grundede E. Jørgensen¹⁾ Slægten *Pterosphaera* paa nogle ejendommelige Organismer, der tidligere har været omtalte og afbildede af Hensen²⁾ og Vanhöffen³⁾, men uden at være blevne benævnedes af disse. Jørgensen opførte Slægten som sammenhørende med *Halosphaera*, men da i alt Fald én af Arterne efter mine⁴⁾ Iagttagelser har tydelig gulbrunfarvet Indhold, synes det uberegtiget. Jeg foreslaar derfor at opføre disse Organismer som en særlig Familie, hvis Slægtskabsforhold indenfor Algerne endnu er uopklaret. I min nævnte Afhandling (l. c. p. 49) antyder jeg, at Slægtnavnet *Pterosphaera* maaske burde remplaceres af *Pterosperma*, opstillet af Pouchet⁵⁾ (p. 178, Ann.) i 1894. Dette mener jeg, bør gøres nu, idet jeg anser det for sikkert, at de to Organismer, som Pouchet beskriver og afbilder, maa være nær beslægtede med de af Jørgensen beskrevne.

Den ene af de af Pouchet opførte Arter, *Pterosperma ovatum*, er forskellig fra alle andre Arter ved sin Ægform; derimod er den

¹⁾ E. Jørgensen: Protophyten und Protozoen im Plankton aus der norwegischen Westküste, p. 47. Bergens Museums Aarboeg for 1899, Nr. 6, 1900.

²⁾ V. Hensen: Ueber die Bestimmung des Planktons oder des im Meere treibende Materials an Pflanzen und Thieren, Taf. IV, fig. 28, 29. Fünfter Bericht der Komm. zur wissenschaft. Untersuch. der deutschen Meere im Kiel. 1887.

³⁾ E. Vanhöffen: Die Fauna und Flora Grönlands, Zweiter Abschnitt. Pl. VI, fig. 4. — Grönland-Expedition der Gesellschaft für Erdkunde zu Berlin, 1891—93, 2 Bd., I Theil, Berlin 1897.

⁴⁾ Martin Knudsen og C. Ostenfeld: Iagttagelser over Overfladevandets Temperatur, Saltholdighed og Plankton paa islandske og grønlandske Skibeuroter i 1899, p. 49. Kjøbenhavn 1900.

⁵⁾ G. Pouchet: Plankton. — Voyage de La Manche à l'Île Jan-Mayer et au Spitzberg (Juillet—Août 1891). Paris 1894.

anden, *P. rotundum*, muligvis identisk med enten *Pterosphaera Möbi* eller *P. Vanhöffenii*. Tidligere har jeg (l. c.) med Spørgsmaalstegn opført den sammen med *Vanhöffenii*, idet jeg støttede mig til Tegningen, men i Følge Beskrivelsen maa man snarere ansé den for sammenhørende med *P. Möbi*, idet den beskrives som „muni d'une membrane saillante circulaire“. Jeg anser det imidlertid for sikrest at holde mig til de af Jørgensen givne Speciesnavne, som man véd, hvad er.

Man har saaledes af Slægten følgende Arter: *P. rotundum* Pouchet, *P. ovatum* Pouchet, *P. Möbi* (Jørg.) Ostf. ms., *P. Vanhöffenii* (Jørg.) Ostf. ms., *P. dictyon* (Jørg.) Ostf. ms., hvortil kommer de nedenfor beskrevne nye.

7. *Pterosperma polygonum* Ostf. n. sp.

Cell globose with projecting lamella which form few and large meshes; the meshes polygonal with undulate sides; diameter about 40 μ .

Arten er beslægtet med *P. Vanhöffenii*, men afviger fra denne ved de talrigere Vinger, som danner et Netværk med 10—12 Masker.



Fig. 3.

Pterosperma polygonum Ostf.
(^{ms.})

VIII ^{12/11} (rr) — IX a ^{14/11} (rr) — IX ^{15/11} (rr) — IX b ^{15/11} (r) — X a ^{16/11} (rr).

8. *P. reticulatum* Ostf. n. sp.

Cell globose, surface very finely reticulated with low lamellae; diameter about 80 μ .

VII a ^{9/11} (rr).

9. *P. Möbi* (Jørg.) Ostf.

X ^{17/2} (rr).



Fig. 4.

Pterosperma reticulatum
Ostf. (^{ms.})

10. *P. undulatum* Ostf. n. sp.

Cell globose with an equatorial, undulate projecting ring; diameter about 45—50 μ .

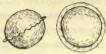


Fig. 5.

Pterospermum undulatum
Ostf. (1891.)

Beslægtet med *P. rotundum*, men karakteriseret ved den mindre fremspringende Ring og den tættere Undulation.

VII a $\frac{9}{11}$ (rr) — VIII $\frac{12}{11}$ (rr),
 $\frac{5}{3}$ (rr) — IX a $\frac{14}{11}$ (rr) — IX b
 $\frac{15}{11}$ (rr) — X a $\frac{16}{11}$ (rr).

V. Bacillariaceæ. (Auctore C. H. Ostenfeld.)

11. *Actinoptychus undulatus* Ehbq.

VIII $\frac{12}{11}$ (rr).

Asterolampra Rotula Grev.

X $\frac{27}{2}$ (rr).

12. *Asteromphalus reticulatus* Cleve, Diat. from the Sea of Java 1873, Taf. I, fig. 2.

IX a $\frac{14}{11}$ (rr) — IX $\frac{4}{3}$ (rr) — IX b $\frac{16}{11}$ (r) — X $\frac{27}{2}$ (r)
 X b $\frac{18}{11}$ (rr) — X c $\frac{2}{3}$ (rr).

13. *Bacteriastrum delicatulum* Cleve, Fish. Board for Scotland, Part III, 1897.

VIII a $\frac{13}{11}$ (rr) — VIII $\frac{12}{11}$ (rr) — X a $\frac{16}{11}$ (rr).

14. *B. varians* Lauder.

VII a $\frac{9}{11}$ (r) — VIII $\frac{12}{11}$ (rr) — X $\frac{27}{2}$ (r).

15. *Biddulphia chinensis* Grev., A. Schmidt, Atlas der Diatomeenkunde, Taf. 122, f. 22—24.



Fig. 6.

Biddulphia chinensis
Grev. (s. 1891.)

Det er med nogen Tvivl, at jeg henfører den af os fundne (Fig. 6) *Biddulphia* (Bredde 200—240 μ) til ovennævnte Art, men den synes at passe godt med den citerede Afbildning hos A. Schmidt.

VIII $\frac{12}{11}$ (rr).

16. *Cerataulina Bergonii* H. Per.

X $\frac{27}{2}$ (rr) — X c $\frac{2}{3}$ (r).

17. *C. compacta* Ostf., n. sp.

Frustules elongate cylindrical, valves flattened, cohering one to another; protuberances short oblique, situated in the prolongation of the hoop-surface, not within it (Fig. 7, c). Chromatophores numerous, disciform. Length of the cell 100—200 μ , width 20—50 μ .

Denne Art afviger fra *C. Bergonii* ved sine korte, skæve Horn, som ligger i samme Plan som Skalcylindren og ikke udgaar indenfor denne Plan, samt ved at Skallerne fra Nabocellerne støde direkte op til hinanden.

VII a $9/11$ (rr) — VIII $12/11$ (rr).

18. *Chaetoceras anastomosans*

Grün.

VIII $12/11$ (+) — IX $15/11$ (rr).

19. *Ch. coarctatum* Lauder, Transact. of the Microscop. Soc., Vol. XII, 1864, p. 79, f. 8.

VII a $9/11$ (+) — VII $9/2$ — VII b $11/11$ (rr) — VIII $12/11$ (r)
IX a $15/11$ (rr) — IX $15/11$ (rr) — X $27/2$ (rr) — X c $9/2$ (rr).

20. *Ch. compressum* Lauder, l. c., p. 78, f. 6.

VIII $12/11$ (rr) — X $27/2$ (r).

21. *Ch. decipiens* Cleve, forma.

Den her iagttagne Form afviger fra de sædvanlige ved sine store Foramina.

VII a $9/11$ (r) — VIII $12/11$ (+) — X $27/2$ (+).

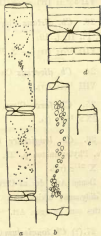


Fig. 7.

Cerataulina compacta Ostf.
a, b med Kromatophorer, c tarret.
(a—c a. 100μ , d a. 200μ .)

22. *Ch. denticulatum* Lauder, l. c. p. 79, f. 9.

VII a $\frac{2}{11}$ (rr) — VIII $\frac{12}{11}$ (r).

23. *Ch. distans* Cleve, Diat. from the Sea of Java, 1873, p. 9, Pl. II, f. 10.

VIII $\frac{12}{11}$ (rr) — X $\frac{27}{2}$ (rr) — X b $\frac{2}{3}$ (rr).

24. *Ch. diversus* Cleve, l. c., p. 9, Pl. II, f. 12.

VIII $\frac{12}{11}$ (rr).

25. *Ch. furca* Cleve, Phytoplankton p. 21, Pl. I, f. 10.

IX a $\frac{16}{11}$ (r).

26. *Ch. longicruris* (Cleve); *Ch. didymum* var. *longicruris* Cleve, Phytoplankton p. 21, Pl. I, f. 11, 17.

X $\frac{27}{2}$ (rr).

Denne Art, der af Cleve oprindeligt er opført som Varietet af *Ch. didymum*, afviger saa meget fra denne, at den absolut bør opfattes som en egen Art.

27. (?) *Ch. longisetum* Cleve, Notes on some Atlantic Plankton-Organisms, 1900, p. 20, Pl. VII, f. 25—29.

Med en Del Tvivl opføres denne Art her, idet vi ingen Hvilkesporer eller Terminalhorn har iagttaget, men de tynde Horn og Manglen af Foramina karakteriserer dog Arten.

X $\frac{27}{2}$ (r).

28. *Ch. Lorenzianum* Grun.

VII a $\frac{2}{11}$ (+) — VIII a $\frac{12}{11}$ (rr) — VIII $\frac{12}{11}$ (rr) — IX a $\frac{14}{11}$ (rr), $\frac{15}{11}$ (rr) — X $\frac{27}{2}$ (rr) — X b $\frac{2}{3}$ (rr) — X c $\frac{2}{3}$ (r).

29. *Ch. neapolitanum* Schröder, Phytoplankton des Golfes von Neapel p. 29, Pl. I, f. 4; Mitth. aus d. zoolog. Station zu Neapel, Bd. 14, 1900.

IX a $\frac{12}{11}$ (rr) — IX $\frac{1}{3}$ (rr) — X $\frac{27}{2}$ (rr) — X b $\frac{2}{3}$ (rr).

30. *Ch. peruvianum* Btw.

X $\frac{27}{2}$ (rr) — X c $\frac{2}{3}$ (r).

31. *Ch. robustum* (Cleve) Ostf. ms.; *Ch. peruvianum* var. *robustum* Cleve, Diatoms from the Sea of Java, 1873, p. 8, Pl. II, f. 8; *C. boreali*? Lauder, l. c., p. 78, f. 7.

Denne Form synes karakteristisk og konstant nok til at være en egen Art.

VIII $\frac{12}{11}$ (rr) — IX a $\frac{13}{11}$ (rr) — X b $\frac{2}{3}$ (rr).

32. *Ch. rostratum* Lauder, l. c., p. 79, f. 10.

VII a $\frac{9}{11}$ (rr).

33. *Ch. Schmidtii* Ostf. n. sp.

Chains multicellular, frustules longer than wide (width about 28μ), in a front view rectangular with sharp angles, valves elliptic-

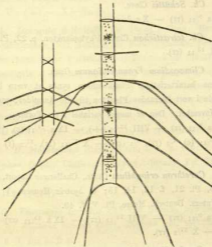


Fig. 8. *Chatoceras Schmidtii* Ostf.
(s. 173.)

circular, hoop very long, at least $\frac{2}{3}$ of the length of the cell, foramina broadly linear. Acorns very long, rather robust, issuing from

the angles of the valves and crossing each other at their insertion, diverging at an obtuse angle, curved towards the ends of the chain. Terminal awns much shorter, but not more robust than the others.

Chromatophores numerous, small, disciform, situated in the wall; no chromatophores in the awns. Spores unknown.

Denne ejendommelige store *Chaetoceras*, som hører til Sektionen *Hyalochate* Grun, minder i Henseende til Hornenes Retning og Udvikling om *Ch. Willsi* Grun, men adskilles jo let ved de talrige smaa Kromatoforer; den sidste Karakter har den til Fælles med *C. teres* Cl. og *Ch. Weisflogii* Schütt, fra hvilke den kendes ved de større Foramina, Hornenes Retning og de fladere Celler.

VIII ¹³/₁₁ (rr).

34. *Ch. Schöttii* Cleve.

VII a ⁹/₁₁ (rr) — X c ³/₅ (rr).

35. *Ch. tetrastichon* Cleve, Phytoplankton, p. 22, Pl. I, f. 7.

VIII ¹³/₁₁ (rr).

36. *Climacodium Fraunfeldianum* Grun.

Denne karakteristiske Planktonform synes at være konstant optrædende i vort Omraades Plankton til alle Aarstider, men hyppigst i November. Den er meget variabel i sin Form.

VII a ⁹/₁₁ (rr) — VIII ¹³/₁₁ (+) — IX a ¹⁴/₁₁ (c), ¹⁵/₁₁ (rr) — IX ¹⁵/₁₁ (c), ¹/₅ (rr), ⁴/₅ (rr) — X ¹²/₁₁ (rr), ²⁷/₂ (r) — X c ⁹/₅ (+).

37. *Corethron criophilum* Castr., Challenger Report, Botany II, p. 85, Pl. 21, f. 12, 14, 15; *C. hystrix* Hensen, V Ber. d. komm. Unters. Deutsch. Meere, Pl. V, f. 49.

VII a ⁹/₁₁ (rr) — VIII ¹³/₁₁ (rr) — IX a ¹⁵/₁₁ (rr) — IX ¹/₅ (rr) — X ²⁷/₂ (rr).

38. *Coscinodiscus excentricus* Ehb. s. l.

VII a ⁹/₁₁ (rr) — VII ⁹/₅ (rr) — VIII ¹³/₁₁ (rr) — IX a ¹⁵/₁₁ (rr) — X b ¹⁵/₁₁ (rr).

39. *C. gigas* Ehb.

VII a ⁹/₁₁ (rr).

40. *C. radiatus* Ebbg., s. l.

VII a $\frac{2}{11}$ (rr) — VIII a $\frac{12}{11}$ (rr) — VIII $\frac{12}{11}$ (rr) — IX a $\frac{14}{11}$ (rr) — IX $\frac{12}{11}$ (rr).

41. *Dactyliosolen antarcticus* Castr.

VII a $\frac{2}{11}$ (rr).

42. (?) *D. hyalinus* Cleve, Notes on some Atlantic Plankton-Organisms, 1900, p. 21, Pl. VIII, f. 93.

Det er kun med Tvivl, at denne Art opføres, men der fandtes i en Prøve en enkelt *Dactyliosolen*-Kæde, som syntes at svare til Cleves Figur.

VII a $\frac{2}{11}$ (rr).

43. *D. mediterraneus* H. Perag.

X $\frac{21}{2}$ (+) — X b $\frac{2}{3}$ (rr).

44. *Detonula delicatula* (H. Perag.) Gran, Bemerk. über Planktondiatomeen, Nyt Magazin for Naturvidenskab, 1900, p. 112.

Der forekommer i adskillige af Prøverne en Planktondiatomé, som rimeligvis er den her nævnte Art, men uagtet speciel Undersøgelse har det været umuligt at se den Centralstræng, som er karakteristisk for den, og det er ikke udelukket, at Bestemmelsen er fejlagtig.

VII a $\frac{2}{11}$ (rr) — VIII $\frac{12}{11}$ (r), $\frac{2}{3}$ (rr) — X $\frac{21}{2}$ (r).

45. *D. Moseleyana* (Castr.) Gran, l. c., p. 113; *Lauderia* (?) *Moseleyana* Castr., Challenger Report, Botany Vol. II, p. 90, Pl. 24, f. 9.

VII a $\frac{2}{11}$ (rr).

46. *Eucampia cornuta* (Cl.) Van Heurck, Synopsis, Pl. 95 bis, f. 5; *Mülleria cornuta* Cleve, Diatoms from the Sea of Java, 1873, p. 7, Pl. I, f. 6.

VII a $\frac{2}{11}$ (rr) — VIII $\frac{12}{11}$ (rr).

47. *E. hemiauloides* Ostf., n. sp.

Chains straight, cells slightly siliceous, nearly as long as wide (length 40—60 μ , width 35—65 μ); sides view elliptic; front view

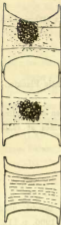


Fig. 9.
Eucampia
hemiauloides
Ostf.
Øverst 2 Celler
med Indhold.
nedert en Celle
i tøret Tilstand.
(c. $\frac{100}{1}$.)

symmetrical on both sides of the longitudinal axis; processes of the valves short; valves membranous; connecting zone very finely annulated. Chromatophores numerous, disciform.

Denne interessante Planktondiatomée, som i meget minder om Slægten *Hemiaulus*, synes at være ret udbredt i vore Prøver. Den er muligvis identisk med *Climacodium biconcavum* Cleve, *Phytoplankton*, p. 22, Pl. 2, f. 16, 17.

VII a $\frac{9}{11}$ (r) — VIII $\frac{12}{11}$ (rr) — IX $\frac{15}{11}$ (rr), $\frac{1}{2}$ (rr) — X $\frac{27}{2}$ (rr) — X b $\frac{2}{2}$ (rr) X c $\frac{3}{2}$ (r).

48. *Euodia incornata* Castr., Challenger Report, Botany Vol. II, p. 149, Pl. 12, f. 1.

De iagttagne Eksemplarer afviger lidt fra Castracane's Afbildning og nærmer sig noget til hans Fig. 6 (*E. ventricosa*, var. nov.), men Størrelseforholdene (Længde 90—140 μ , Bredde 65—105 μ) samt den tydelige radixre Punktering peger paa *E. incornata*.

VII a $\frac{9}{11}$ (rr) — VII $\frac{9}{2}$ (rr) — IX a $\frac{14}{11}$ (rr) — X c $\frac{3}{2}$ (rr).

49. *Guinardia flaccida* H. Perag.

VII a $\frac{9}{11}$ (r) — VIII $\frac{12}{11}$ (rr) — V b $\frac{2}{2}$ (rr).

50. *Lauderia annulata* Cl. (incl. *L. elongata* Castr.).

VIII $\frac{12}{11}$ (rr).

51. *Lauderiopsis costata* Ostf., n. sp.

Lauderiopsis nov. gen. differs from *Lauderia* in wanting the spines on the valves. *L. costata*: Frustule cylindrical (length 100—300 μ , width 60—100 μ), valves in a front view flattened with blunt angles, more rounded at the plan which shows the bow of the connecting rings than at the plan vertical to it; connecting rings numerous, the part opposite to the bow with very marked

lines, the bow-part thin; at the same side the bow is to be found on every other ring and forms a slowly twined line.

I hele sit Udseende og sin Bygning stemmer denne Diatomé overens med *Lauderia* undtagen derved, at den mangler ethvert Spor af Torne paa Skallerne, ogsaa den uparrede Torn. Da dette Forhold har stor systematisk Værdi, bør den sikkert opstilles som Type for en ny Slægt.

VII a $\frac{2}{11}$ (r).

52. *Planktoniella sol* (Wallich) Schütt.

Den er meget variabel i sit Udseende og navnlig i An-

tallet af Segmenter paa den radiært liggende hyaline Ring samt i Forholdet mellem denne Ring og selve Skallen.

VII b $\frac{15}{11}$ (rr) — VIII a $\frac{12}{11}$ (rr) — VIII $\frac{15}{11}$ (r) — IX a $\frac{14}{11}$ (r), $\frac{16}{11}$ (rr) — IX $\frac{2}{5}$ (rr) — X $\frac{17}{11}$ (rr), $\frac{27}{2}$ (+) — X b $\frac{18}{11}$ (c) — X c $\frac{2}{5}$ (rr).

53. *Nitzschia (pungens* Grun.) var. *atlantica* Cleve, *Phytoplankton*, p. 24, Pl. 2, f. 24.

X $\frac{27}{2}$ (rr) — X b $\frac{15}{11}$ (+).

54. *Rhizosolenia alata* Btw.

VII b $\frac{11}{11}$ (r) — VIII a $\frac{12}{11}$ (r) — IX $\frac{15}{11}$ (rr), $\frac{4}{5}$ (rr) — IX a $\frac{14}{11}$ (rr), $\frac{16}{11}$ (r) — X a $\frac{18}{11}$ (rr) — X $\frac{27}{2}$ (r) — X b $\frac{2}{5}$ (r) — X c $\frac{2}{5}$ (c).

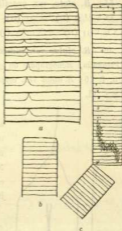


Fig. 10. *Lauderiopsis costata* Ostf. a Del af en Cella, vendt saaledes, at Stjernerne paa Mellembaandene ses. b, c Cellar, drejede 90°. (a $\frac{200}{\mu}$, b, c $\frac{100}{\mu}$.)

55. *R. alata*, var. *gracillima* (Cl.) Van Heurck.

IX a $^{14/11}$ (rr), $^{15/11}$ (rr) — X a $^{16/11}$ (rr) — X $^{27/2}$ (c)
— X b $^{18/11}$ (rr) — X c $^{2/3}$ (r).

56. *R. alata*, var. *indica* (H. Perag.) Ostf. ms.; *R. indica*
H. Peragallo, Monographie du genre Rhizosolenia, 1892, p. 116,
Pl. 5, f. 16; *R. alata* var. *corpulenta* Cleve, Phytoplankton, p. 24,
Pl. 2 f. 11.

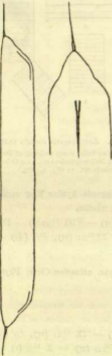


Fig. 11.

Rhizosolenia hyalina Ostf.
($^{200/1}$, $^{100/1}$.)

Der er næppe nogen Tvivl om,
at Peragallo's *R. indica* er identisk
med Cleve's var. *corpulenta* og man
maa følgelig benytte Peragallo's
Navn som det ældste. Maaſke bør
ogsaa *R. quadrifurcata* H. Peragallo,
ibid., f. 17 føres hertil.

VII a $^{9/11}$ (+) — VIII $^{18/11}$ (rr)
— X b $^{2/3}$ (rr) — X c $^{2/3}$ (+).

57. *R. cylindrus* Cleve, Phyto-
plankton, p. 23, Pl. 2, f. 12.

IX $^{1/3}$ (rr) — X b $^{18/11}$ (rr) —
X $^{27/2}$ (rr).

58. *R. hyalina* Ostf., n. sp.

Frustule very slightly silicious
(length 280—340 μ , width 28—
32 μ); *structure hardly visible,*
squamate (4—5 squamæ at the same
height); spine (32—40 μ long) very
thin, slowly incrassated at the base;
valve in a front view with a cha-
racteristic undulation of the contour
and with a fissure, in which the
spine of the neighbour-cell is fastened.

En ejendommelig fin Art, hvis
Strukturforhold er meget vanskelige

at faa at se, men undertiden lykkes det dog at se Brudstykker af dem, og det viser sig da, at de er byggede omtrent som hos *R. Bergoni* H. Peragallo (l. c., Pl. 3, f. 5).

VII b $^{11}/_{11}$ (rr) — X $^{27}/_2$ (r) — X b $^{2}/_5$ (rr), $^{2}/_5$ (+).

59. *R. imbricata* Btw.

VII a $^{9}/_{11}$ (r) — VIII $^{12}/_{11}$ (rr) — IX a $^{14}/_{11}$ (rr) — X a $^{16}/_{11}$ (rr) — X b $^{2}/_5$ (rr) — X c $^{2}/_5$ (r).

60. *R. robusta* Norman.

VII a $^{9}/_{11}$ (rr) — VIII $^{12}/_{11}$ (rr).

61. *R. semispina* Hensen.

VIII $^{2}/_5$ (rr).

62. *R. setigera* Btw.

VIII $^{12}/_{11}$ (rr) — IX $^{4}/_5$ (rr) — X a $^{14}/_{11}$ (rr) — X $^{27}/_2$ (rr) X b $^{12}/_{11}$ (rr), $^{2}/_5$ (rr) — X c $^{2}/_5$ (rr).

De indtagne Eksemplarer afviger noget fra den sædvanlige *R. setigera*, saaledes som den findes ved Europas Vestkyst, idet de er finere og tyndere.

63. *R. Shrubsoleii* Cleve.

VII a $^{9}/_{11}$ (rr) — VII $^{4}/_5$ (rr) — VIII $^{12}/_{11}$ (rr) — IX a $^{16}/_{11}$ (rr) — X $^{27}/_2$ (r) — X b $^{18}/_{11}$ (rr), $^{2}/_5$ (r).

64. *R. Stolterfothii* Cleve.

VII a $^{9}/_{11}$ (rr) — VIII $^{12}/_{11}$ (+) — X $^{27}/_2$ (rr) — X b $^{2}/_5$ (r) — X c $^{2}/_5$ (rr).

65. *R. styliformis* Btw.

VIII a $^{12}/_{11}$ (rr) — VIII $^{2}/_5$ (rr) — IX a $^{12}/_{11}$ (rr) — X $^{27}/_2$ (rr) — X c $^{2}/_5$ (rr).

66. *Stephanopyxis turris* (Grev.) Balss.

VIII $^{12}/_{11}$ (rr).

67. *Streptotheca thamensis* Cleve.

VIII $^{12}/_{11}$ (r).

68. *Striatella delicatula* (Kütz.) Grun.

VIII ¹⁸/₁₁ (rr).

69. *Thalassiosira Monile* Cleve, Plankton from the Red Sea, Öfvers. af K. Vetensk.-Akad. Förhandl. 1900 Nr. 9, p. 1094, f. 2, 3.

VIII ¹⁸/₁₁ (rr).

Uagtet det ikke lykkedes os at se Perlesnorformen i den Guld, som omgiver Cellerne, er de faa Eksemplarer, vi har set, dog sikkert at henføre til denne Art.

70. *Thalassiothrix Fraunfeldii* Grun.

VII a ²/₁₁ (r) — IX a ¹⁰/₁₁ (rr) — X a ¹⁶/₁₁ (rr) — X b ²/₈ (rr).

71. *Th. longissima* Cl. & Grun., f. *gracilis* Ostf. n. f.

Smaller and more delicate than the main species.

VIII ¹⁰/₁₁ (rr) — IX a ¹⁴/₁₁ (rr), ¹⁰/₁₁ (r) — X ²¹/₂ (r) — X b ¹⁶/₁₁ (+).

VI. Silicoflagellata.

72. *Dictyocha fibula* Ehbq.

IX a ¹⁴/₁₁ (rr).

VII. Peridinales. (Auctoribus C. H. Ostenfeld et Johs. Schmidt.)

73. *Amphisolenia bidentata* Schröder, Phytoplankton des Golfes von Neapel, p. 20, Pl. 1, f. 16 a—c.

VII b ¹¹/₁₁ (rr) — IX a ¹⁰/₁₁ (rr) — IX ¹⁰/₁₁ (rr), ¹/₂ (r), ⁴/₂ (rr) — X a ¹⁰/₁₁ (rr) — ²⁷/₂ (rr) — X b ¹⁸/₁₁ (rr) — X c ²/₈ (rr)

Kromatoforerne findes stedse omtrent paa Midten og er i levende Tilstand lyst gulbrune.

74. *A. Schauinslandii* Lemmerm., Planktonalgen, Abh. Nat. Ver. Bremen, Bd. XVI, 1899, p. 350, Pl. 1, f. 18—19.

X ²/₈ (rr).

75. *A. thrinax* Schött, Pflanzenleben der Hochsee, fig. 25.

IX a $^{14}/_{11}$ (rr).

76. *Blepharocysta splendor maris* EhbG., Stein, Organismus der Infusionsthierc, III, 2, Pl. VII, f. 17—19, VIII, f. 3—5.

VIII a $^{9}/_{8}$ (rr) — VIII $^{18}/_{11}$ (r) — IX a $^{14}/_{11}$ (r) — IX $^{15}/_{11}$ (rr), $^{4}/_{8}$ (r) — IX b $^{15}/_{11}$ (+) — X a $^{16}/_{11}$ (r) — X $^{17}/_{11}$ (rr), $^{27}/_{2}$ (rr), $^{2}/_{8}$ (+) — X b $^{2}/_{8}$ (c).

77. *Ceratium candelabrum* (EhbG.) Stein, l. c., Pl. XVI, f. 15, 16.

VIII a $^{9}/_{8}$ (rr) — IX a $^{14}/_{11}$ (r) — IX $^{15}/_{11}$ (rr) — IX b $^{15}/_{11}$ (r) — X $^{17}/_{11}$ (rr) — X b $^{18}/_{11}$ (rr), $^{2}/_{8}$ (r).

78. *C. furca* (EhbG.) Duj.

VII a $^{9}/_{11}$ (+) — VII b $^{11}/_{11}$ (rr) — VIII a $^{12}/_{11}$ (r), $^{9}/_{8}$ (rr) — VIII $^{18}/_{11}$ (r), $^{2}/_{8}$ (+), $^{9}/_{8}$ (+) — IX a $^{14}/_{11}$ (+) — IX $^{15}/_{11}$ (r), $^{1}/_{8}$ (r) — IX b $^{15}/_{11}$ (+) — X a $^{16}/_{11}$ (rr) — X $^{27}/_{2}$ (rr), $^{2}/_{8}$ (r) — X b $^{18}/_{11}$ (rr), $^{2}/_{8}$ (r) — X c $^{2}/_{8}$ (r).

79. *C. lineatum* (EhbG.) Cleve.

VII a $^{9}/_{11}$ (+) — VII $^{10}/_{11}$ (rr) — VII b $^{11}/_{11}$ (rr) — VIII a $^{9}/_{8}$ (rr) — VIII $^{18}/_{11}$ (r), $^{2}/_{8}$ (rr), $^{9}/_{8}$ (r) — IX a $^{14}/_{11}$ (+) — IX $^{15}/_{11}$ (r), $^{1}/_{8}$ (rr), $^{4}/_{8}$ (rr) — X a $^{16}/_{11}$ (r) — X $^{2}/_{8}$ (+) — X c $^{2}/_{8}$ (rr).

80. var. *longiseta* Ostf. & Schm., n. var.

Apical horn extremely long and thin. Long. of apical horn about 200 μ , transversal diameter of body about 70 μ .

VII $^{9}/_{8}$ (+) — X b $^{18}/_{11}$ (r), $^{2}/_{8}$ (r).

81. var. *robusta* Cleve. Plankton, from the Southern Atlantic and the Southern Indian Ocean, Öfv. K. Vet. Akad. Förhandl. 1900, p. 925, f. 6.

VIII $^{18}/_{11}$ (rr).



Fig. 12.
Ceratium lineatum var. *longiseta* Ostf. & Schm. (a. $^{200}/_{1}$)

82. *C. fusus* (Ehbg.) Dujard.

VII a $\frac{2}{11}$ (rr) — VII $\frac{10}{11}$ (rr) — VII b $\frac{11}{11}$ (r) — VIII a $\frac{12}{11}$ (r) — VIII $\frac{12}{11}$ (r) — IX a $\frac{14}{11}$ (rr) — IX $\frac{1}{2}$ (r) — IX b $\frac{15}{11}$ (r) — X b $\frac{2}{2}$ (r).

83. f. *extensa* Gourret, Périodiques du Golfe de Marseille 1883 p. 52, Pl. 4, f. 56.

VII $\frac{2}{2}$ (rr) — IX $\frac{12}{11}$ (rr), $\frac{4}{2}$ (r) — X $\frac{12}{11}$ (rr), $\frac{11}{2}$ (r) — X b $\frac{12}{11}$ (r) — X c $\frac{2}{2}$ (r).

84. *C. gracilum* Gourret, l. c., p. 58; *C. oviformis* Daday Természetrázi Füzetek, vol. XI, 1887—88, p. 79, Pl. III, f. 7. 9.

var. *praelongum* Lemmermann, l. c., p. 349, Pl. I, f. 15.

X a $\frac{12}{11}$ (rr) — X $\frac{17}{11}$ (rr).

85. *C. tripos* (O. F. Müller) Nitzsch.

VII $\frac{10}{11}$ (r), $\frac{6}{2}$ — VIII a $\frac{12}{11}$ (+) — VIII $\frac{12}{11}$ (r), $\frac{2}{2}$ (rr), $\frac{2}{2}$ (r) — IX a $\frac{14}{11}$ (rr) — IX $\frac{12}{11}$ (rr) — X $\frac{17}{11}$ (r) — X b $\frac{12}{11}$ (rr) — X c $\frac{2}{2}$ (r).

86. var. *brevis* Ostf. & Schm., n. var.

Body robust, horns short, especially apical horn.



Fig. 13. *Ceratium tripos* var. *brevis* Ostf. & Schm.

ca. $\frac{20}{2}$ — VII b $\frac{11}{11}$ (+) — VIII a $\frac{6}{2}$ (rr) — VIII $\frac{12}{11}$ (+) — IX a $\frac{14}{11}$ (+) — IX b $\frac{15}{11}$ (+) — X a $\frac{12}{11}$ (rr) — X $\frac{17}{11}$ (r), $\frac{17}{2}$ (r) — X b $\frac{12}{11}$ (rr) — X c $\frac{2}{2}$ (r).

87. var. *gracilis* Schröder Neapel p. 15, Pl. 1, f. 17 b, c, non Gourret, l. c., p. 24, Pl. 1, f. 1.

VII $\frac{2}{2}$ — VIII a $\frac{2}{2}$ (rr) — VIII $\frac{12}{11}$ (rr) — IX a $\frac{14}{11}$ (r) — IX $\frac{12}{11}$ (r), $\frac{4}{2}$ (r) — X a $\frac{12}{11}$ (r) — X $\frac{2}{2}$ (r) — X b $\frac{2}{2}$ (c) — X c $\frac{2}{2}$ (r).



Fig. 14.

Ceratium tripos
var. *gracilis* Gourret.

Ca. $\frac{100}{2}$.



Fig. 15.

Ceratium tripos
var. *arcuata* Gourret.

Ca. $\frac{100}{2}$.

88. var. *arcuata* Gourret, l. c., p. 25, Pl. 2, f. 42, Cleve, Atlantic Plankton-Organisms, 1900, p. 13, Pl. VII, f. 11.

VIII a $\frac{6}{5}$ (rr) — IX a $\frac{14}{11}$ (rr) — IX $\frac{15}{11}$ (rr), $\frac{1}{5}$ (rr), $\frac{4}{5}$ (+) — X $\frac{17}{11}$ (rr).

89. *C. heterocamptum* (Jörg.) Ostf. & Schm. ms.; *C. tripos* & *arcuatum* f. *heterocampta* Jörg., Bergens Museums Aarboeg, 1899, VI, p. 44, Pl. II, f. 12, *C. (tripos* var.) *aristatum* Cleve, Plankton-Organisms, p. 13, Pl. VII, f. 3.

VII $\frac{5}{5}$ (rr) — VII b $\frac{11}{11}$ (rr).

90. *C. timutus* Gourret, l. c., p. 33, Pl. 1, f. 7.

VII $\frac{5}{5}$ (rr).

91. *C. dens* Ostf. & Schm., n. sp.



Fig. 16. *Ceratium dens* Ostf. & Schm. Ca. $\frac{100}{2}$.

Body robust, left antapical horn very short, most commonly robust, straight or slightly curved, tooth-like.

Denne karakteristiske Art synes at være udbredt i det Røde og Indiske Hav.

VIII a $^{12}/_{11}$ (rr). $^{9}/_8$ (r) — VIII $^{10}/_{11}$ (r), $^{9}/_8$ (r) — IX a $^{14}/_{11}$ (r) — IX $^{10}/_{11}$ (rr) — X b $^{2}/_3$ (r) — X c $^{2}/_3$ (+).

92. *C. reflexum* Cleve, Plankton-Organisms, 1900, p. 15, Pl. VII, f. 8—9.

VIII a $^{9}/_8$ (rr) — IX $^{4}/_3$ (rr) — X b $^{2}/_3$ (rr).



Fig. 17. *Cerat. robustum* Ostf. & Schm. Ca. $^{112}/_1$.

93. *C. robustum* Ostf. & Schm., n. sp.

Body robust, horns rather short, right antapical horn parallel to apical horn, left antapical horn with a pronounced flexure diverging at an acute angle; body and horns with prominent lists.

Denne ejendommelige Form har vi kun fundet i faa Individuer i en enkelt Prøve.

IX $^{13}/_{11}$ (rr).

94. *C. curvicorne* (Daday) Cleve, Plankton-Organisms, 1900, p. 14, Pl. VII,

f. 2, *C. tripos* var. *curvicorne* Daday, Természetrázi Füzetek, Vol. XI, 1887—88, Pl. III. f. 4, 8, 12, 14.

IX $^{15}/_{11}$ (r) — X a $^{16}/_{11}$ (rr) — X $^{17}/_{11}$ (r) — X b $^{2}/_3$ (r) — X c $^{2}/_3$ (rr).

95. *C. tenue* Ostf. & Schm., n. sp.

Horns very thin, apical horn rather long, antapical horns rather short, attenuated towards the ends, slightly diverging. Cell wall thin, without lists.

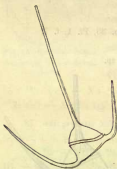


Fig. 18. *Cerat. tenue* Ostf. & Schm. ca. $^{200}/_1$.

VII a $\frac{2}{11}$ (rr) — VII $\frac{6}{5}$ (rr), $\frac{2}{5}$ (rr) — VII b $\frac{11}{11}$ (rr) — X a $\frac{16}{11}$ (rr).

96. *C. contortum* (Gourret) Cleve, Plankton-Organisms, 1900, p. 14, Pl. VII, f. 10, *C. gibberum* var. *contortum* Gourret, l. c., p. 35, Pl. 2, f. 33.

VII $\frac{10}{11}$ (r), $\frac{6}{5}$, $\frac{2}{5}$ (r) — VII b $\frac{11}{11}$ (r) — VIII a $\frac{6}{5}$ (rr) — IX a $\frac{16}{11}$ (rr) — IX $\frac{18}{11}$ (rr), $\frac{6}{5}$ (+) — IX b $\frac{16}{11}$ (rr) — X a $\frac{16}{11}$ (rr) — X $\frac{17}{11}$ (rr), $\frac{21}{2}$ (rr), $\frac{2}{5}$ (rr) — X b $\frac{2}{5}$ (rr) — X c $\frac{2}{5}$ (rr).

97. *C. hexacanthum* Gourret, l. c., p. 36, Pl. 3, f. 49, *C. tripos* var. *inaequale* Gourret, l. c., p. 30, Pl. 1, f. 3, ? *C. tripos* var. *reticulata* Pouchet, Journ. de l'Anatomie et de la Physiologie, 19, 1883, p. 423, f. 3 a—b.

VII a $\frac{2}{11}$ (rr) — VII $\frac{10}{11}$ (r), $\frac{2}{5}$ (r) — VII b $\frac{11}{11}$ (rr) — X $\frac{17}{11}$ (rr).

98. *C. macroceras* (Ehbq.).

VII b $\frac{11}{11}$ (r) — VIII a $\frac{6}{5}$ (r) — VIII $\frac{12}{11}$ (rr), $\frac{6}{5}$ (r) — IX a $\frac{14}{11}$ (rr) — IX $\frac{15}{11}$ (r), $\frac{6}{5}$ (rr) — X $\frac{17}{11}$ (rr), $\frac{27}{5}$ (r), $\frac{2}{5}$ (r) — X b $\frac{2}{5}$ (r) — X c $\frac{2}{5}$ (r).



Fig. 19. *Ceratium macroceras* (Ehbq.), f. Ca. 100 μ .

99. var. *scotica* Schütt, Pflanzenleben, p. 70, f. 35, IV; Ostenfeld, Jagtt. o. Overfl. Temp., Salth. og Plankton, 1899, p. 67, *C. tripos* var. *macroceras* f. *intermedia* Jörg., l. c., p. 42, Pl. I, f. 10.

VII $\frac{6}{5}$ — VIII $\frac{12}{11}$ (rr).

100. *C. eultur* Cleve, Plankton-Organisms, 1900, p. 15, Pl. VII, f. 5.

Som Cleve ogsaa angiver, findes den meget hyppigt i Kæder (jagttaget indtil ca. 30 Individuer sammen): hos de i Kæder forekommende



Fig. 20. *Cerat. eultur* Cleve. Ca. 100 μ .

Individer er Apicalhornet kort, undtagen hos det Ende-Individ, hvor det er frit.

VII $^{10/11}$ (r), $^{9/8}$, $^{9/8}$ (rr) — VII b $^{11/11}$ (r) — VIII a $^{12/11}$ (+) — VIII $^{12/11}$ (rr), $^{9/8}$ (+) — IX a $^{14/11}$ (r) — IX $^{9/8}$ (+) — X $^{17/11}$ (+) — X b $^{9/8}$ (rr) — X c $^{9/8}$ (+).

De opførte Lokalteter og Hyppighedsangivelser er næppe alle korrekte, da der muligvis i de først undersøgte Prøver er sket en Sammenblanding med efterfølgende Art.

101. *C. rotans* Cleve, Plankton-Organisms, 1900, p. 15, Pl. VII, f. 4.

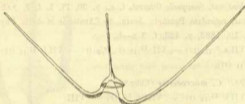


Fig. 21. *Ceratium rotans* Cleve. Ca. $^{100/1}$.

Vinklen mellem Apical- og Antapicalhornene naar ofte ikke 90° (se Fig. 21).

VII a $^{9/8}$ (r) — VIII $^{12/11}$ (rr) — IX a $^{14/11}$ (rr) — X b $^{9/8}$ (rr).

102. *C. patentissimum* Ostf. & Schum, n. sp.

Chun, Aus den Tiefen des Weltmeeres, Jens 1900, p. 71, fig. a.

Body small, horns extremely long and delicate, flexible, ant-apical horns widely spreading, forming a right angle to apical horn.

VII b $^{11/11}$ (rr) — VIII $^{9/8}$ (rr) — IX $^{9/8}$ (rr) — X $^{17/11}$ (rr).

103. *C. flagelliferum* Cleve, Plankton-Organisms, 1900, p. 14, Pl. VII, f. 12.

VII a $^{9/11}$ (rr) — VII $^{10/11}$ (+), $^{9/8}$, $^{9/8}$ (r) — VII b $^{11/11}$ (+) — VIII a $^{12/11}$ (r) — VIII $^{12/11}$ (rr), $^{9/8}$ (rr) — IX a $^{14/11}$ (+)

IX $^{10/11}$ (rr) — X a $^{16/11}$ (r) — X $^{17/11}$ (r), $^{27/2}$ (r) — X b $^{18/11}$ (r), $^{2/5}$ (r) — X c $^{2/5}$ (r).

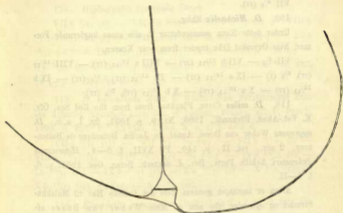


Fig. 22. *Ceratium patentissimum* Ostf. & Schm. Ca. $^{26/1}$.

104. *Ceratocorys horrida* Stein, Pl. VI, f. 4—11.

VII $^{9/5}$ (rr) — VII b $^{11/11}$ (r) — VIII a $^{12/11}$ (rr), $^{6/5}$ (rr)
— VIII $^{18/11}$ (rr) — IX a $^{14/11}$ (r) — IX $^{16/11}$ (rr), $^{4/5}$ (+) —
X $^{17/11}$ (rr), $^{27/2}$ (rr) — X b $^{2/5}$ (r) — X c $^{2/5}$ (rr).

105. *Cladopyxis brachiolata* Stein, Pl. II, f. 7.

Den Organisme, som vi har fundet, svarer til Steins Fig. 7 af *Cladopyxis brachiolata*, men denne er dog sikkert forskellig fra de som figg. 12, 13 opførte Cyster, der af Stein henføres til denne Art.

VIII a $^{6/5}$ (rr) — IX $^{4/5}$ (rr) — X b $^{2/5}$ (r).

106. *Dinophysis hastata* Stein, Pl. XIX, f. 12.

X a $^{16/11}$ (rr).

107. *D. homunculus* Stein, Pl. XXI f. 2, 5.

VII b $^{11/11}$ (rr) — VIII $^{18/11}$ (r) — IX a $^{14/11}$ (+) — IX $^{16/11}$ (rr) — IX b $^{18/11}$ (rr) — X a $^{16/11}$ (rr) — X $^{17/11}$ (rr), $^{27/2}$ (rr).

108. var. *tripos* (Gourret) Lemmermann, l. c., p. 373. *D. homunculus* Stein Pl. XXI, f. 3, 4.

VII $\frac{2}{3}$ (rr).

109. *D. Michaelis* Ehbh.

Under dette Navn sammenfatter vi alle smaa kuglerunde Former, hvis Overskal ikke træder frem over Kraven.

VII $\frac{2}{3}$ — VII b $\frac{11}{11}$ (rr) — VIII a $\frac{12}{11}$ (rr) — VIII $\frac{12}{11}$ (rr), $\frac{2}{3}$ (r) — IX a $\frac{14}{11}$ (rr) — IX $\frac{15}{11}$ (rr), $\frac{1}{3}$ (rr) — IX b $\frac{15}{11}$ (rr) — X a $\frac{16}{11}$ (rr) — X b $\frac{18}{11}$ (rr), $\frac{2}{3}$ (rr).

110. *D. miles* Cleve, Plankton from from the Red Sea, Öfv. K. Vet.-Akad. Förhandl., 1900, Nr. 9, p. 1031, fig. 1, a, b. *D. aggregata* Weber van Besse, Annal. du Jardin Botanique de Buitenzorg, 2 sér., vol. II, p. 140, Pl. XVII, f. 3—4, *Heteroceras Schroeteri* Achille Forti, Ber. d. deutsch. Botan. Ges. 1901, p. 6, f. I—II.

Arten er iagttaget gennem hele det Indiske Hav til Malakka-Strædet og optræder ofte som af Mme Weber van Besse afbildet i Rosetter paa 8 sammenhængende Individuer. Den indeholder 3—5, i levende Tilstand gulbrune Kromatoforer. Cleve afbilder to Former, en fra det Røde Hav og en fra det Malayiske Archipelag; den sidste er den samme som Weber van Besse og Forti har afbildet, og for den foreslaar vi Navnet *f. indica* Ostf. & Schm. Den første Form (*f. Maris Rubri* Ostf. & Schm.) er den eneste, vi har truffet i det her undersøgte Omraade, omend den dorsale Protuberans undertiden var længere end af Cleve afbildet hos *f. Maris Rubri*.

VII a $\frac{2}{11}$ (rr) — VII b $\frac{11}{11}$ (r) — VIII a $\frac{2}{3}$ (r) — VIII $\frac{12}{11}$ (rr), $\frac{2}{3}$ (rr) — IX a $\frac{14}{11}$ (r) — IX $\frac{15}{11}$ (rr), $\frac{4}{3}$ (rr) — IX b $\frac{15}{11}$ (rr) — X $\frac{17}{11}$ (rr) — X c $\frac{2}{3}$ (rr).

111. *D. oceanum* Schätt, Die Peridineen der Plankton-Expedition I, 1895, Pl. I, f. 6.

IX b $\frac{15}{11}$ (rr).

112. *D. sphaerica* Stein, Pl. XX, f. 3—4.

VII $\frac{2}{11}$ (rr), $\frac{2}{3}$, $\frac{2}{3}$ (rr) — VIII a $\frac{12}{11}$ (r) — VIII $\frac{2}{3}$ (rr) — IX a $\frac{14}{11}$ (r) — IX $\frac{15}{11}$ (r) — X a $\frac{16}{11}$ (r).

113. *D. uracantha* Stein, Pl. XX, f. 22—23.
X b $\frac{15}{11}$ (rr).

114. *Diplopsalis lenticula* Bergh.

VII a $\frac{9}{11}$ (r) — VII $\frac{9}{5}$ (rr) — VII b $\frac{11}{11}$ (r) — VIII a $\frac{12}{11}$ (+), $\frac{9}{5}$ (r) — VIII $\frac{10}{11}$ (r), $\frac{2}{5}$ (r), $\frac{5}{5}$ (+) — IX a $\frac{16}{11}$ (+) — IX $\frac{16}{11}$ (r), $\frac{1}{5}$ (r), $\frac{4}{5}$ (r) — IX b $\frac{16}{11}$ (r) — X a $\frac{16}{11}$ (r) — X $\frac{17}{11}$ (rr), $\frac{27}{2}$ (r), $\frac{2}{5}$ (r) — X b $\frac{16}{11}$ (rr), $\frac{2}{5}$ (+) — X c $\frac{9}{5}$ (+).

115. *D. saecularis* Murr. & Whitt., New Peridiniaceae from the Atlantic, Transact. Linn. Soc. of London, Botany, vol. V, Part 9, 1899, p. 325, Pl. XXVIII, f. 5 a, b, c, e, f, non d.

VII a $\frac{9}{11}$ (rr) — VII $\frac{9}{5}$, $\frac{9}{5}$ (rr) — VII b $\frac{11}{11}$ (r) — VIII a $\frac{12}{11}$ (r) — VIII $\frac{10}{11}$ (c), $\frac{5}{5}$ (+) — IX a $\frac{14}{11}$ (r) — IX $\frac{16}{11}$ (rr) — IX b $\frac{16}{11}$ (rr) — X a $\frac{16}{11}$ (r) — X $\frac{27}{2}$ (rr) — X b $\frac{16}{11}$ (rr), $\frac{2}{5}$ (rr) — X c $\frac{9}{5}$ (rr).

116. *Exuviella compressa* (Bailey) Ostf., l. c., p. 59, *Di-nopyxis compressa* Stein, Pl. I, f. 34—38.

VII a $\frac{9}{5}$ (rr) — VII $\frac{9}{5}$ (rr) — VII b $\frac{11}{11}$ (r) — VIII a $\frac{12}{11}$ (r) — VIII $\frac{10}{11}$ (rr), $\frac{2}{5}$ (rr) — IX a $\frac{14}{11}$ (r) — IX $\frac{16}{11}$ (rr) — IX b $\frac{16}{11}$ (rr) — X $\frac{2}{5}$ (r) — X b $\frac{16}{11}$ (rr).

117. *Goniodoma acuminatum* Stein, Pl. VII, f. 1—16.

VII a $\frac{9}{5}$ (r) — VII $\frac{9}{5}$, $\frac{9}{5}$ (+) — VII b $\frac{11}{11}$ (r) — VIII a $\frac{12}{11}$ (r) — VIII $\frac{10}{11}$ (r), $\frac{2}{5}$ (r), $\frac{5}{5}$ (rr) — IX a $\frac{14}{11}$ (r) — IX $\frac{16}{11}$ (r), $\frac{1}{5}$ (r), $\frac{4}{5}$ (r) — IX b $\frac{16}{11}$ (r) — X a $\frac{16}{11}$ (r) — X $\frac{17}{11}$ (r), $\frac{27}{2}$ (r) — X b $\frac{2}{5}$ (+) — X c $\frac{9}{5}$ (r).

118. var. *armata* Schütt l. c., Pl. IX, f. 32, syn. *G. fimbriatum* Murr. & Whitt., l. c., p. 325, Pl. 27, f. 1 a, b.

119. *G. sphaericum* Murr. & Whitt., l. c., p. 325, Pl. XXVII, f. 3 a, b.

Denne lille Peridiné, som vi afbilder her, anser vi for at være identisk med *Goniodoma sphaericum* Murr. & Whitt. Ca. $\frac{100}{1}$.



Fig. 23. *Goniodoma sphaericum* Murr. & Whitt. Ca. $\frac{100}{1}$.

Murray & Whitting's opferte Art. Det teguede Individu Diameter var ca. 45 μ .

VII b $\frac{2}{11}$ (rr).

120. *Gonyaulax hyalina* Ostf. & Schm., n. sp.

Body divided into two approximately equal limbs, widest at the girdle, superior valve low-infundibuliform, inferior valve broadly campanulate.

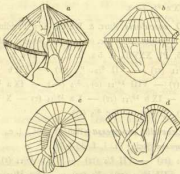


Fig. 24. *Gonyaulax hyalina* Ostf. & Schm.

a, Individ set fra Buccaliden. b, fra dorsale Side. c, fra apex. d, Underskallen set fra Buccaliden. Seibert Oc. I, Opl. V.

Membrane hyaline, very delicate, collapsing, composed of angular plates; plates divided by longitudinal striae, between which they are very finely transversely striate (not visible in the annexed figures). Transversal girdle spirate, longitudinal girdle a little twisted, proceeding from apex to antapex.

Length about 92 μ . Breadth about 84 μ .

IX a $\frac{14}{11}$ (r) — IX $\frac{15}{11}$ (c), $\frac{1}{2}$ (rr), $\frac{4}{5}$ (r) — X $\frac{27}{2}$ (r), $\frac{2}{5}$ (rr).

121. *G. polygramma* Stein, Pl. IV, f. 15.

VII a $\frac{2}{11}$ (rr) — VII $\frac{6}{2}$, $\frac{2}{5}$ (+) — VII b $\frac{11}{11}$ (rr) — VIII a $\frac{12}{11}$ (r), $\frac{6}{5}$ (+) — VIII $\frac{2}{2}$ (rr) — IX a $\frac{14}{11}$ (r) — IX $\frac{15}{11}$ (rr), $\frac{4}{5}$ (rr) — IX b $\frac{15}{11}$ (rr) — X $\frac{18}{11}$ (r), $\frac{2}{5}$ (r) — X b $\frac{17}{11}$ (r), $\frac{2}{5}$ (rr).

122. *Histoneis crateriformis* Stein, Pl. XXII, f. 5, 6.

VII a $^9/_{11}$ (rr) — VII b $^{11}/_{11}$ (rr) — VIII $^{12}/_{11}$ (rr) — IX b $^{13}/_{11}$ (rr).

123. *Ornithocercus magnificus* Stein, Pl. XXIII, f. 1; Schütt, Centrifugal. Dickenwachsthum der Membran, Bot. Ztg. 1900, p. 18 (Sep.) f. 8—10.

VIII a $^{12}/_{11}$ (rr), $^8/8$ (rr) — VIII $^{12}/_{11}$ (r), $^5/5$ (r) — IX a $^{14}/_{11}$ (rr) — IX $^{15}/_{11}$ (+), $^1/1$ (r), $^4/4$ (rr) — IX b $^{15}/_{11}$ (rr) — X a $^{16}/_{11}$ (rr) — X $^{17}/_{11}$ (+), $^{27}/2$ (r), $^2/2$ (rr) — X b $^{18}/_{11}$ (r), $^2/2$ (r).

124. *O. quadratus* Schütt, l. c., p. 10, f. 1—4. *Dinophysis galca* Pouchet e. p., Contributions, I, p. 426, f. G; *Histoneis magnifica* Schröder, l. c., p. 20, Pl. 1, f. 15.

VIII a $^5/5$ (rr) — VIII $^{12}/_{11}$ (rr), $^5/5$ (rr) — IX a $^{14}/_{11}$ (rr) IX $^{15}/_{11}$ (+), $^4/4$ (rr) — IX b $^{15}/_{11}$ (r) — X a $^{16}/_{11}$ (rr) — X $^{17}/_{11}$ (+), $^2/2$ (r) — X b $^{18}/_{11}$ (r), $^2/2$ (r).

Vi anser *O. quadratus* for meget vel adskilt fra *O. magnificus*; den synes udbredt i Middelhavet, det Røde Hav og det Indiske Hav; en Del af de iagttagne Individuer nærmede sig dog til *O. Steinsi* Schütt, l. c., p. 16, f. 7.

125. *Oryzoxum constrictum* (Stein) Bütschli; Schütt, Die Peridineen, Pl. XVII, f. 53, *Pyrgidium constrictum* Stein, Pl. V, f. 15—18.

VII a $^9/_{11}$ (rr) — X $^{16}/_{11}$ (r).

126. *O. gladius* Stein, Pl. V, f. 6—7.

VII a $^9/_{11}$ (rr).

127. *O. Milneri* Murr. & Whitt., l. c., p. 328, Pl. XXVII, f. 6. Schröder, l. c., p. 18, f. 14.

VII a $^9/_{11}$ (rr) — VII b $^{11}/_{11}$ (rr) — IX b $^{15}/_{11}$ (rr) — X a $^{16}/_{11}$ (rr) — X b $^{18}/_{11}$ (rr).

128. *O. scolopax* Stein, Pl. V, f. 3.

De af os iagttagne Former stemmer med Stein's Fig. 3, men derimod ikke med Fig. 1—2.

VII b $^{11}/_{11}$ (r) — X a $^{16}/_{11}$ (r).

129. *O. sphaeroideum* Stein, Pl. V, fig. 8—12.

VII a $9/11$ (rr) — X b $18/11$ (rr).

130. *O. tessellatum* (Stein) Schött, Die Peridineen, p. 160, Pl. 17, f. 52; *Pyrgidium tessellatum* Stein, Pl. VI, f. 2—3.

VII a $9/11$ (r) — VII b $11/11$ (rr) — IX $15/11$ (r) — IX b $15/11$ (r) — X a $19/11$ (rr) — X $9/8$ (rr) — X b $18/11$ (r).

131. *Peridinium divergens* Ehbq.

VII a $9/11$ (+) — VII $9/8$, $9/8$ (+) — VII b $11/11$ (r) — VIII a $12/11$ (r), $9/8$ (+) — VIII $12/11$ (r), $9/8$ (r), $9/8$ (+) — IX a $14/11$ (+) — IX $15/11$ (r), $9/8$ (rr) — IX b $15/11$ (+) — X a $19/11$ (r) — X $11/11$ (+), $21/2$ (+), $9/8$ (rr) — X b $9/8$ (+) — X c $9/8$ (rr).

132. *P. diabolus* Cleve, Plankton-Organisms, 1900, p. 16, Pl. VII, f. 20, non f. 19; Murr. & Whitt., l. c., Pl. XXIX, f. 4 b.

X b $18/11$ (rr).

133. *P. elegans* Cleve, l. c., Pl. VII, f. 15—16; Murr. & Whitt., l. c., Pl. XXIX, f. 4 a.

VII $10/11$ (r), $9/8$ — VIII a $12/11$ (rr) — VIII $12/11$ (rr) — IX a $14/11$ (r) — IX $15/11$ (r) — X $21/2$ (rr) — X b $18/11$ (rr), $9/8$ (rr).

134. *P. oceanicum* Vanhöffen, l. c., Pl. V, f. 2.

VII b $11/11$ (r) — VIII a $9/8$ (r) — VIII $12/11$ (r), $9/8$ (r) — IX a $14/11$ (+) — IX $9/8$ (rr) — X a $16/11$ (rr) — X $17/11$ (r), $21/2$ (rr), $9/8$ (rr) — X b $18/11$ (r), $9/8$ (r) — X c $9/8$ (+).

135. *P. conicum* (Gran) Ostf. & Schm. ms.; *P. divergens* var. *conica* Gran, Hydrographic-Biologic Studies of the North-Atlantic Ocean and the Coast of Nordland, 1900, p. 47; Fig.: Bergh, Der Organismus d. Ciliotflagellaten, Pl. XV, f. 43—44; Pouchet, Contributions I, fig. 31—33; Schött, Die Peridineen, Pl. 13, f. 43 13, 14.

VII a $9/11$ (r) — VIII $12/11$ (r) — IX a $14/11$ (rr) — X $21/2$ (r) — X b $18/11$ (rr).

136. *P. globatus* Stein, Pl. IX, f. 5—8.
 VII a $\frac{2}{11}$ (r) — VII $\frac{2}{3}$ — VIII a $\frac{2}{3}$ (+) — VIII $\frac{12}{11}$ (rr), $\frac{2}{3}$ (r), $\frac{2}{3}$ (r) — IX a $\frac{14}{11}$ (rr) — X a $\frac{12}{11}$ (rr) — X $\frac{17}{11}$ (rr), $\frac{27}{2}$ (rr) — X b $\frac{12}{11}$ (rr), $\frac{2}{3}$ (rr) — X c $\frac{2}{3}$ (r).

137. *P. pedunculatum* Schütt, Die Peridineen, p. 158, Pl. 14, f. 47.

VII a $\frac{2}{11}$ (rr) — VII $\frac{2}{3}$, $\frac{2}{3}$ (rr) — VIII a $\frac{12}{11}$ (rr) — VIII $\frac{12}{11}$ (rr), $\frac{2}{3}$ (rr), $\frac{2}{3}$ (r) — IX a $\frac{14}{11}$ (r) — IX $\frac{12}{11}$ (rr), $\frac{1}{3}$ (rr) — IX b $\frac{12}{11}$ (r) — X a $\frac{12}{11}$ (rr) — X $\frac{27}{2}$ (rr) — X b $\frac{12}{11}$ (rr), $\frac{2}{3}$ (r).

138. *P. pellucidum* (Bergh) Schütt, Die Peridineen p. 157, Pl. 14, f. 45.

VII a $\frac{2}{11}$ (rr) — VII $\frac{2}{3}$, $\frac{2}{3}$ (rr) — VII b $\frac{11}{11}$ (r) — VIII $\frac{2}{3}$ (r) — X b $\frac{12}{11}$ (rr).

139. *P. Steinii* Jørg., Bergens Museums Aarbog, 1899, VI, p. 38; *P. Michaelis* Stein, Pl. IX, f. 9—14; Schütt, Die Peridineen, p. 157, Pl. 14, f. 46.

VII a $\frac{2}{11}$ (rr) — VII $\frac{2}{3}$ — VII b $\frac{11}{11}$ (rr) — VIII $\frac{12}{11}$ (rr) — IX a $\frac{14}{11}$ (rr) — IX b $\frac{12}{11}$ (r) — X b $\frac{2}{3}$ (r) — X c $\frac{2}{3}$ (rr).

140. *P. tristylum* Stein, var. *ocata* Schröder, l. c., p. 18, f. 13.

VIII $\frac{12}{11}$ (rr) — IX a $\frac{14}{11}$ (rr) — IX $\frac{1}{3}$ (rr), $\frac{4}{3}$ (rr) — X $\frac{27}{2}$ (r) — X b $\frac{12}{11}$ (rr), $\frac{2}{3}$ (rr) — X c $\frac{2}{3}$ (r).

P. sp.

Foruden de opførte Arter forekommer i Preverne hyppigt smaa *Peridinium*-Former, hvis Bestemmelse vi ikke har indladt os paa.

141. *Phalacrocoma argus* Stein, Pl. XVIII, f. 15—17.

X $\frac{27}{2}$ (rr), $\frac{2}{3}$ (rr).

142. *P. cuneus* Schütt, Die Peridineen, p. 148, Pl. 3, f. 14.

X $\frac{11}{11}$ (rr), $\frac{2}{3}$ (rr) — X b $\frac{12}{11}$ (rr).

143. *P. doryphorum* Stein, Pl. XIX, f. 1—4.

VII a $\frac{9}{11}$ (r) — VII $\frac{9}{8}$ — VII b $\frac{11}{11}$ (rr) — VIII $\frac{13}{11}$ (r) — IX a $\frac{14}{11}$ (rr) — IX $\frac{15}{11}$ (c) — IX b $\frac{15}{11}$ (r) — X a $\frac{16}{11}$ (rr) — X $\frac{17}{11}$ (r) — X b $\frac{18}{11}$ (rr), $\frac{2}{5}$ (rr) — X c $\frac{2}{5}$ (rr).

144. *P. Jourdanii* (Gourret) Schütt, Die Peridineen, p. 149, Pl. 4, fig. 20; *Dinophysis Jourdanii* Gourret, l. c., p. 79, Pl. III, fig. 55.

VII $\frac{9}{8}$, $\frac{9}{5}$ (r) — IX $\frac{1}{2}$ (rr) — X $\frac{27}{2}$ (rr).

145. *P. mitra* Schütt, Die Peridineen, p. 149, Pl. 4, fig. 18.

VII b $\frac{11}{11}$ (rr) — IX a $\frac{14}{11}$ (r) — IX $\frac{15}{11}$ (rr) — X a $\frac{16}{11}$ (rr) — X $\frac{17}{11}$ (rr), $\frac{27}{2}$ (rr) — X b $\frac{2}{5}$ (rr).

146. *P. porodictyum* Stein, Pl. XVIII, f. 11—14.

VII $\frac{9}{5}$ (r) — VII b $\frac{11}{11}$ (rr) — VIII a $\frac{12}{11}$ (rr) — VIII $\frac{12}{11}$ (rr), $\frac{2}{5}$ (r) — IX a $\frac{14}{11}$ (rr) — IX $\frac{15}{11}$ (r) — X a $\frac{16}{11}$ (rr) — X $\frac{17}{11}$ (rr) — X b $\frac{18}{11}$ (rr), $\frac{2}{5}$ (rr).

147. var. *parvula* Schütt, Die Peridineen, p. 148, Pl. 2, fig. 13e.

X b $\frac{2}{5}$ (rr).

148. *P. rapa* Stein, Pl. XIX, fig. 5—8.

X $\frac{17}{11}$ (rr), $\frac{2}{5}$ (rr).

149. *Podolampas bipes* Stein, Pl. VIII, fig. 6—8.

VII b $\frac{11}{11}$ (rr) — VIII a $\frac{9}{5}$ (rr) — VIII $\frac{13}{11}$ (rr) — IX a $\frac{14}{11}$ (rr) — IX $\frac{1}{2}$ (rr), $\frac{4}{5}$ (rr) — IX b $\frac{15}{11}$ (r) — X a $\frac{16}{11}$ (r) — X $\frac{17}{11}$ (r), $\frac{2}{5}$ (rr) — X b $\frac{18}{11}$ (rr), $\frac{2}{5}$ (+).

150. *P. palmipes* Stein, Pl. VIII, fig. 9—11.

VII a $\frac{9}{11}$ (rr) — VII $\frac{9}{5}$ — VII b $\frac{11}{11}$ (r) — VIII $\frac{13}{11}$ (rr) — IX $\frac{15}{11}$ (rr), $\frac{1}{2}$ (r) — IX b $\frac{15}{11}$ (rr) — X a $\frac{16}{11}$ (rr) — X $\frac{2}{5}$ (+) — X b $\frac{18}{11}$ (r), $\frac{2}{5}$ (rr).

151. *Prorocentrum gracile* Schütt, Die Peridineen, p. 146, Pl. 1, f. 3.

VII a $\frac{9}{11}$ (rr).

152. *P. micans* Ehbq.

VIII $\frac{13}{11}$ (rr) — IX b $\frac{15}{11}$ (rr) — X a $\frac{16}{11}$ (rr) — X b $\frac{18}{11}$ (rr).

(—) 153. *Protocestratum reticulatum* (Clap. & Lachm.) Schütt, Die Peridiseen, p. 152, Pl. 7, fig. 28.

X b $^{12/11}$ (rr).

154. *Pyrophacus horologium* Stein, Pl. XXIV, f. 1—13.

VII a $^{9/11}$ (rr) — VII b $^{11/11}$ (+) — VIII a $^{12/11}$ (r) — VIII $^{12/11}$ (rr). $^{2/3}$ (r) — IX a $^{14/11}$ (rr) — IX $^{14/11}$ (r), $^{1/3}$ (r), $^{4/3}$ (rr) — IX b $^{15/11}$ (rr) — X a $^{16/11}$ (r) — X $^{17/11}$ (r), $^{27/2}$ (r) — X b $^{18/11}$ (r), $^{2/3}$ (rr) — X c $^{2/3}$ (r).

VIII. Murracystae.

155. *Pyrocystis fusiformis* J. Murray, Proc. of the Royal Soc., p. 533, Pl. 21; Challeng. Report, Vol. I, second part, p. 937, f. 338.

VIII a $^{12/11}$ (rr) — VIII $^{12/11}$ (rr) — IX a $^{14/11}$ (rr) — IX $^{12/11}$ (rr) — X $^{27/2}$ (rr) — X b $^{15/11}$ (rr), $^{2/3}$ (rr) — X c $^{2/3}$ (rr).

156. *P. hamulus* Cleve, Plankton-Organisma, p. 19, Pl. VII, fig. 23.

X c $^{2/3}$ (rr).

157. *P. lunula* Schütt in Engl. & Prantl. Nat. Pflanzenfam. I, 1 b, 1896, p. 4, fig. 2 B—F.

VIII $^{12/11}$ (rr) — IX $^{4/3}$ (rr) — IX b $^{15/11}$ (rr) — X b $^{18/11}$ (rr) — X c $^{2/3}$ (rr).

158. *P. pseudonoctiluca* J. Murr., l. c., p. 533, Pl. XXI; Challeng. Report, Vol. I, second part, p. 935, fig. 335—337.

VIII a $^{12/11}$ (r).

IX. Cystoflagellata.

159. *Noctiluca miliaris* Suriray.

IX $^{1/3}$ (rr) — X $^{27/2}$ (rr) — X c $^{2/3}$ (r).

X. Tintinnodea. (Auctoribus C. H. Ostenfeld et Johs. Schmidt).

160. *Amphorella Ganymedes* (Entz) Daday, Monographie, p. 539.

IX a $^{14}/_{11}$ (+) — IX $^{15}/_{11}$ (rr), $^{1}/_2$ (rr) — IX b $^{15}/_{11}$ (+)
— X a $^{16}/_{11}$ (r) — X $^{21}/_2$ (rr).

161. *A. quadrilineata* (Clap. & Lachm.) Jörg., Bergens Museums Aarboeg 1899, II, p. 12.

— VII a $^9/_{11}$ (rr) — VII $^9/_2$ — VII b $^{11}/_{11}$ (r) — VIII $^{12}/_{11}$ (+)
— IX a $^{14}/_{11}$ (c) — IX $^{15}/_{11}$ (r), $^{1}/_2$ (r) — IX b $^{15}/_{11}$ (+)
— X a $^{16}/_{11}$ (rr) — X $^{21}/_2$ (rr), $^{2}/_2$ (rr) — X b $^{18}/_{11}$ (rr), $^{2}/_2$ (+).

162. *A. Steenstrupii* (Clap. & Lachm.) Daday, l. c., p. 537.

VII a $^9/_{11}$ (r) — VII $^9/_2$ (r) — X a $^{16}/_{11}$ (rr) — X b $^9/_2$ (+).

163. *A. urceolata* (Ostf.) Ostf. & Schm. ms.; *Tintinnus urceolatus* Ostenfeld, Zool. Anz. XXII, Nr. 601, p. 439, fig. 2 g.

VIII $^{12}/_{11}$ (rr).

164. *Codonella galea* Haeckel, Jen. Zeitschs. f. Med. u. Naturw. 1873, p. 567, Pl. XXVIII, fig. 8—9; *Codonella lagenula* Entz, Mitth. Zool. Stat. Neapel, V, p. 413, Pl. XXIV, f. 11; *ibid.*, VI, p. 203, Pl. XIV, f. 14, non Daday, l. c., nec *Tintinnus lagenula* Clap. & Lachm.

VIII a $^9/_2$ (rr).

165. *C. morchella* Cleve, Some Atlantic Tintinnodea, Öfv. af K. Vet. Ak. Förh. 1899, p. 969.

Selve Kroppen er i Almindelighed, som beskrevet af Cleve, bedækket med fremmede Legemer, men naar dette ikke er Tilfældet, viser den en tydelig tæt netformet Struktur. Den varierer især meget i Form.

VII a $^9/_{11}$ (rr) — VII $^9/_2$ — VIII a $^{12}/_{11}$ (rr) — VIII $^{12}/_{11}$ (r), $^9/_2$ (rr) — IX a $^{14}/_{11}$ (r) — IX $^{15}/_{11}$ (r) — IX b $^{15}/_{11}$ (r)
X b $^{18}/_{11}$ (rr).

166. *C. orthoceras* Haeckel, l. c., p. 567, Pl. XXVIII, f. 10; *C. annulata* Daday, l. c., p. 571, Pl. XX, f. 21.

IX $^4/_2$ (rr).

167. *Cyttarocyclus amor* Cleve, Atlantic Tintinnodea, p. 970.
VII a $^9/_{11}$ (rr) — VIII $^{12}/_{11}$ (rr), $^9/_2$ (rr) — IX $^4/_2$ (rr) — X a $^{16}/_{11}$ (rr) — X $^2/_2$ (rr) — X b $^2/_2$ (r).

168. *C. annulata* Daday, l. c., p. 582, Pl. XXI, fig. 6.

Med nogen Tvivl har vi henført en sjældent forekommende *Cyttarocyclus* til denne Art.

VII $\frac{9}{5}$ (rr), $\frac{9}{5}$ (rr) — VII b $\frac{11}{11}$ (rr).

169. *C. annulifera* Ostf. & Schm., n. sp.

House tubulose, upper part annulate, inferior part without rings, acute or obtuse.

Length 52—73 μ .

Diameter of mouth 18 μ .

VIII $\frac{13}{11}$ (rr) — IX a $\frac{14}{11}$ (rr) — IX b $\frac{15}{11}$ (rr).

170. *C. apophysata* (Cleve) Ostf. & Schm. ms., *C. Hebe* var. *apophysata* Cleve, Atlantic Tintinnodea, p. 971.

Vi kan ikke indrømme Cleve, at Apofysen ikke har systematisk Værdi, men anser den for meget konstant og mener os derfor berettigede til at betragte den Form, som er i Besiddelse af den som en særlig Art.

X b $\frac{2}{5}$ (rr).

171. *C. Hebe* Cleve, Atlantic Tintinnodea, p. 971.

VII $\frac{9}{5}$ (rr) — VII b $\frac{11}{11}$ (r) — VIII $\frac{5}{5}$ (rr).

172. *C. millepora* (Entz) Daday, l. c., p. 584; *Dictyocysta millepora* Entz, Mitth. Zool. Stat. Neapel, VI, p. 208, Pl. XIV, f. 9.

IX b $\frac{15}{11}$ (rr).

173. *C. poculum* Ostf. & Schm., n. sp.

House goblet-shaped, with apical end distinctly apiculate, and with numerous slightly spirally arranged ribs. Interstices without larger puncta.

Length 91—101 μ .

Diameter of mouth 50—53 μ .

VII b $\frac{11}{11}$ (+) — IX a $\frac{14}{11}$ (+)

— IX $\frac{1}{5}$ (rr) — IX b $\frac{15}{11}$ (r).



Fig. 25.

Cyttarocyclus annulifera Ostf. & Schm. Seibert Oc. III Obj. V.



Fig. 26. *Cyttar. Hebe* Cleve. Length 200 μ .



Fig. 27. *Cytt. poculum* O. & S. Seibert Oc. I. Obj. V.

174. *C. reticulata* Ostf. & Schm., n. sp.

Fig. 28.
Cytl. reticulata
Ostf. & Schm.
Selbert Op. II, Obj. V.

House campanulate, nearly as long as broad with shortly apiculate apical end and densely reticulated wall.

Length: 63—87 μ .

Diameter of mouth: 55—62 μ .

Bøgerets ydre Kontur er tydelig knudretvortet, hvad der ikke træder tilstrækkeligt frem i Figuren.

VII $^{10}/_{11}$ (rr) — VIII a $^{12}/_{11}$ (rr) — VIII $^{12}/_{11}$ (r), $^{2}/_{3}$ (r), $^{3}/_{2}$ (rr) — IX a $^{14}/_{11}$ (+) — IX $^{15}/_{11}$ (r), $^{1}/_{2}$ (r) — IX $^{15}/_{11}$ (c) — X a $^{16}/_{11}$ (r) — X $^{17}/_{11}$ (r), $^{27}/_{2}$ (r) — X b $^{2}/_{3}$ (r).

175. *C. simplex* Cleve, Atlantic Tintinnodea, p. 972.

VII a $^{9}/_{11}$ (rr) — VII b $^{11}/_{11}$ (r) — VIII a $^{12}/_{11}$ (rr) — VIII $^{12}/_{11}$ (r), $^{2}/_{3}$ (r) — IX a $^{14}/_{11}$ (r) — IX $^{15}/_{11}$ (r), $^{1}/_{2}$ (r) — IX b $^{15}/_{11}$ (r) — X a $^{16}/_{11}$ (r) — X $^{27}/_{2}$ (rr) — X b $^{18}/_{11}$ (r), $^{2}/_{3}$ (r).



Fig. 29.
Cytl. spiralis
(Fol.)
Ostf. & Schm.
Selbert Op. I,
Obj. V.

176. *C. spiralis* (Fol) Ostf. & Schm. ms.; *Tintinnus spiralis* Fol, Archives des Sc. physiques et naturelles, 3 sér., V, Genève 1881, p. 21, Pl. 1, fig. 4; *Undella spiralis* Daday p. 565, Pl. XVIII, f. 8.

Striberne er, som herstaaende Figur viser, kun meget lidet spiralsnoede (danner en meget stejl Skruue). Foruden de grove Punkter (Porer) har Væggen tydelig *Cytlarocythæ*-Struktur. Arten varierer betydeligt i Størrelse.

VII a $^{9}/_{11}$ (r) — VIII a $^{12}/_{11}$ (r), $^{6}/_{5}$ (rr) — IX a $^{14}/_{11}$ (+) — IX $^{1}/_{2}$ (r), $^{6}/_{5}$ (rr) — IX b $^{15}/_{11}$ (+) — X a $^{16}/_{11}$ (+) — X $^{17}/_{11}$ (+), $^{27}/_{2}$ (c), $^{2}/_{3}$ (rr) — X b $^{18}/_{11}$ (+), $^{2}/_{3}$ (+).

177. *C. striata* Cleve, Plankton from the Southern Atlantic and the Southern Indian Ocean, Öfv. af K. Vet. Ak. Förh., 1900, p. 922, f. 3 b (f. curia).

VII $^{6}/_{5}$, $^{9}/_{5}$ (c) — VII b $^{11}/_{11}$ (rr) — VIII a $^{12}/_{11}$ (r), $^{6}/_{5}$ (rr)

— VIII $\frac{2}{3}$ (rr), $\frac{2}{3}$ (rr) — IX b $\frac{12}{11}$ (r) — X b $\frac{12}{11}$ (r), $\frac{2}{3}$ (rr)
 — X c $\frac{2}{3}$ (rr).

178. *C. Trefortii* Daday, l. c., p. 579, Pl. XXI, f. 1.

VII a $\frac{2}{11}$ (rr) — VII $\frac{2}{3}$ — VIII $\frac{12}{11}$ (rr) — X a $\frac{12}{11}$ (rr)
 — X $\frac{11}{11}$ (rr), $\frac{27}{2}$ (r) — X b $\frac{12}{11}$ (rr).

179. *C. Undella* Ostf. & Schm., n. sp.

House campanulate, a little longer than broad, with acute apical end, wall with two distinct lamellae, structureless towards the simple mouth, plainly reticulated in the inferior part.

Length 140—157 μ .

Diameter of mouth: 67—73 μ .

I Begerets øvre Del mangler *Cyttarocyli-*
 Strukturen, hvorved Arten minder om *Undella-*
 Slægten ved sin meget tydelige dobbelte Væg.

Cyttarocyli-
acuminata Daday, l. c., p. 578,
 Pl. XX, f. 33, minder noget om vor Art, men Figuren tillader ikke
 Identificering.

Forekom i en stor Del af Prøverne, i nogle endog ret hyppig,
 (+) f. Ex. IX a $\frac{12}{11}$.

180. *Dictyocysta templum* Haeckel, l. c., p. 564, Pl. XXVII,
 fig. 6.

VII b $\frac{11}{11}$ (rr) — VIII $\frac{12}{11}$ (rr) — IX $\frac{12}{11}$ (rr), $\frac{1}{2}$ (rr) —
 IX b $\frac{12}{11}$ (rr) — X a $\frac{12}{11}$ (rr) — X b $\frac{2}{3}$ (r).

181. *Petalotricha ampulla* (Fol) Kent.

VII a $\frac{2}{11}$ (r) — X $\frac{11}{11}$ (rr).

182. *Tintinnus acuminatus* Clap. & Lech.

VIII $\frac{12}{11}$ (rr) — IX $\frac{12}{11}$ (rr) — X b $\frac{12}{11}$ (rr).

183. *T. Fraknoi* Daday p. 528, Pl. XVIII, f. 1.

VII a $\frac{2}{11}$ (+) — VII $\frac{2}{3}$ (rr) — VII b $\frac{11}{11}$ (r) — VIII
 $\frac{12}{11}$ (rr), $\frac{2}{3}$ (r) — IX a $\frac{12}{11}$ (r) — IX b $\frac{12}{11}$ (r) — X $\frac{11}{11}$
 (rr), $\frac{27}{2}$ (rr) — X b $\frac{12}{11}$ (r), $\frac{2}{3}$ (+) — X c $\frac{2}{3}$ (r).

184. *T. lusus undae* Entz, Mitth. Zool. Stat. Neapel, VI,
 p. 202, Pl. XIV, fig. 12.



Fig. 30.
Cyttarocyli
undella
 Ostf. & Schm.
 Seibert Oc. I.
 Obi. V.

(r) VII a $\frac{9}{11}$ (rr) — IX a $\frac{14}{11}$ (rr) — IX $\frac{15}{11}$ (rr) — IX b $\frac{16}{11}$ (r) — X b $\frac{18}{11}$ (rr), $\frac{2}{3}$ (r).

185. *Undella Claparédii* (Entz) Daday, l. c., p. 566, Pl. XIX, fig. 1.

VII a $\frac{9}{11}$ (r) — VII $\frac{8}{5}$, $\frac{9}{5}$ (c) — VII b $\frac{14}{11}$ (rr) — VIII $\frac{12}{11}$ (r), $\frac{2}{3}$ (rr), $\frac{5}{8}$ (rr) — IX a $\frac{14}{11}$ (c) — IX $\frac{15}{11}$ (r), $\frac{1}{2}$ (+) — IX b $\frac{16}{11}$ (c) — X a $\frac{18}{11}$ (r) — X $\frac{27}{2}$ (rr) — X q $\frac{16}{11}$ (r) — X c $\frac{2}{3}$ (rr).

186. var. *Dohrnii* (Daday) Ostf. & Schm. ms.

Undella Dohrnii Daday, l. c., p. 566, Pl. XVIII, f. 22.

IX $\frac{15}{11}$ (rr) — IX b $\frac{16}{11}$ (rr).

Videnskabelige Meddelelser

fra

den naturhistoriske Forening i Kjøbenhavn

for

Aaret 1901.

Udgivne af Selskabets Bestyrelse.

Med 4 Tavler, 2 Kart og 54 Figurer i Texten.

No. Det. Garden.

Sjette Aartis tredje Aargang. vol 63

Kjøbenhavn.

Bianco Lunos Bogtrykkeri.

1902.